

Ep. 6.7  
532

ISSN 0136-3549  
0203-9745

TALLINNA  
POLÜTEHNILISE INSTITUUDI  
TOIMETISED

532

— ТРУДЫ ТАЛЛИНСКОГО  
ПОЛИТЕХНИЧЕСКОГО  
ИНСТИТУТА

**ТРИ**  
**'82**

СТАТИЧЕСКИЕ И ДИНАМИЧЕСКИЕ  
МЕТОДЫ АНАЛИЗА  
СТЕРЖНЕВЫХ СИСТЕМ,  
ПЛАСТИН И ОБОЛОЧЕК





Ep. 6.7

532

**ТРИ  
'82**

**TALLINNA POLÜTEHNILISE INSTITUUDI TOIMETISED**

**ТРУДЫ ТАЛЛИНСКОГО ПОЛИТЕХНИЧЕСКОГО ИНСТИТУТА**

УДК 624

СТАТИЧЕСКИЕ  
И  
ДИНАМИЧЕСКИЕ  
МЕТОДЫ  
АНАЛИЗА  
СТЕРЖНЕВЫХ  
СИСТЕМ,  
ПЛАСТИН  
И  
ОБОЛОЧЕК

Строительная механика XIII

Таллин 1982



С.С. Богданов, А.В. Клаусон

О ВОЗМОЖНОСТИ ИСПОЛЬЗОВАНИЯ ПОРТАЛЬНОЙ РАМЫ  
В КАЧЕСТВЕ КОНЕЧНОГО ЭЛЕМЕНТА ПРИ ОПТИМИЗАЦИИ  
МНОГОКОНТУРНЫХ РАМ

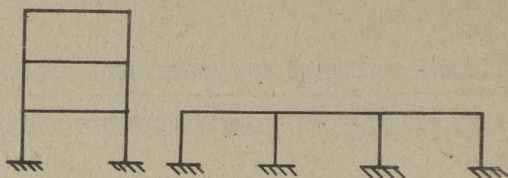
Оптимизация многоконтурных рам на сегодняшний день производится известным методом звездочек [1], который предполагает, что в основной системе контуры расположены в шахматном порядке.

Однако, как видно из следующего примера (фиг. 1) для реальных сооружений (многоярусные однопролетные или одноярусные многопролетные рамы) это условие не соблюдается и при расчетах возникает необходимость введения так называемых фиктивных (дополнительных) контуров, с нулевой жесткостью (см. фиг. 2), что значительно усложняет расчеты.

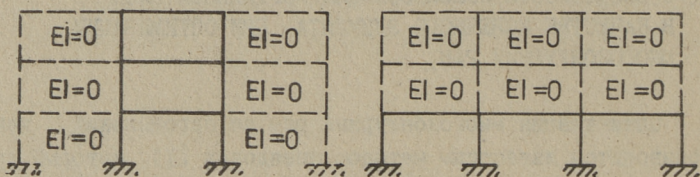
Анализ возможных основных схем (см. фиг. 3) привел к выводу о целесообразности основной системы (I), в которой в качестве конечных элементов используются порталная рама с жестко заделанными опорами и шарнирно-опертыми, с учетом того, что оптимизация порталной рамы с жестко заделанными опорами проведена ранее [2], а оптимизация двухшарнирной порталной рамы не представляет сложности и может быть выполнена по аналогии с предыдущей.

На фиг. 4 приведены результаты исследований связи весовых параметров  $q - [q]$  для упомянутой рамы, из которой следует, что в зависимости от соотношений длин  $\lambda = l_p / l_{ст}$  и типа нагрузки решение может отсутствовать или быть единственным.

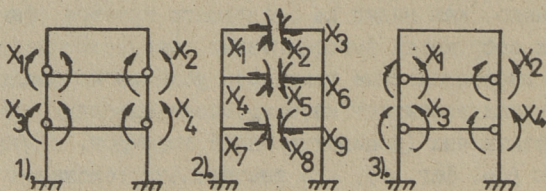
Используя описанный выше подход оптимизации однопролетных многоярусных или одноярусных многопролетных рам, можно решить задачу методом сил с учетом результатов, полученных при оптимизации порталных рам.



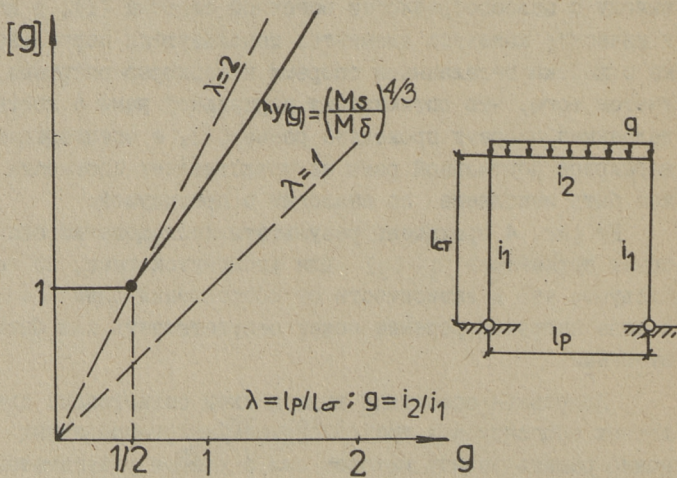
Фиг. 1. Рассматриваемые случаи рам.



Фиг. 2. Применение фиктивных контуров ( $EI=0$ ).

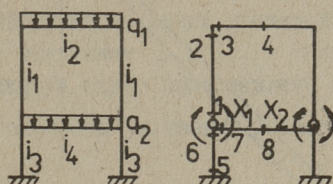


Фиг. 3. Возможные основные системы.



Фиг. 4. Связь  $g - [g]$  для двухшарнирной портальной рамы.

Для иллюстрации было проведено исследование однопролетной двухъярусной рамы со следующими параметрами (см. фиг.5):



Фиг. 5. Параметры двухъярусной рамы.

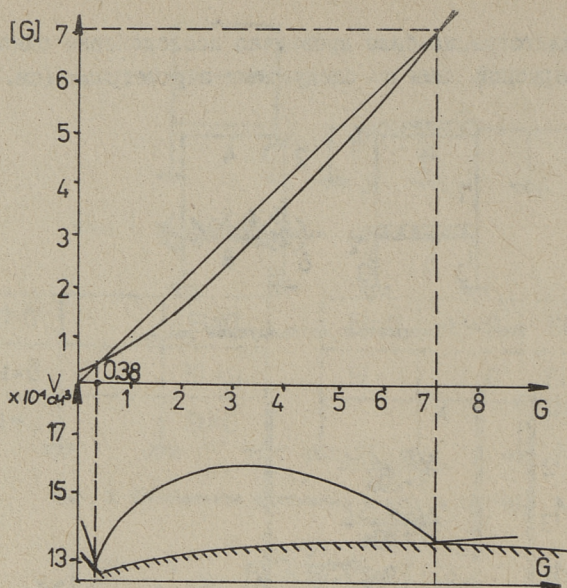
$$b_{\text{сим}} = \begin{pmatrix} M_1 \\ M_2 \\ M_3 \\ M_4 \\ M_5 \\ M_6 \\ M_7 \\ M_8 \end{pmatrix} = \begin{pmatrix} X \\ -\frac{Xg_B + 2S_1}{3 + 2g_B} \\ -\frac{Xg_B + 2S_1}{3 + 2g_B} \\ S_1 - \frac{Xg_B + 2S_1}{3 + 2g_B} \\ -\frac{2X - 4/3S_2}{4 + 2g_H} \\ \frac{2X - 4/3S_2}{2 + g_H} \\ \frac{2X - 4/3S_2}{2 + g_H} - X \\ S_2 + \frac{2X - 4/3S_2}{2 + g_H} - X \end{pmatrix} \quad \Delta E \quad \begin{matrix} g_B = \frac{l_2}{i_1} ; g_H = \frac{l_4}{i_3} ; \\ S_1 = \frac{q_1 \cdot l_{PB}^2}{8} ; S_2 = \frac{q_2 \cdot l_{PH}^2}{8} ; \end{matrix}$$

$$X = 2/3 \cdot \frac{S_2(3 + 2g_B) \cdot G + S_1(g_H + 2)}{(3 + 2g_B) \cdot G + (g_B + 2)(g_H + 2)} \quad \Delta E \quad G = \frac{l_1}{i_3}$$

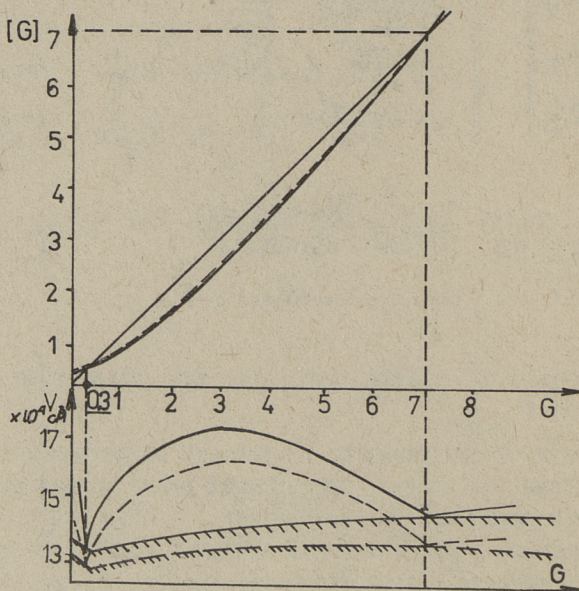
Фиг. 6. Статический расчет.

Результаты статического расчета приведены в матрице на фиг. 6.

На фиг. 7 представлены результаты оптимизации двухъярусной рамы (с учетом проведенной ранее оптимизации порталной рамы) как по зависимости  $G - [G]$ , так и по зависимости объема рамы на верхней и нижней границе  $-G$ . Из проведенного расчета в качестве оптимального  $G$  для первого шага принято  $G = 0,38$ , соответствующее минимальному объему.



Фиг. 7. Первоначальный расчет  $G_{\text{опт}}$ .



Фиг. 8. Расчет с учетом эффекта действия связей.

Учитывая эффект действия связей, проявляющийся при конструировании сложной системы из простых, равенство между  $q$  нарушается. Поправка на сдвиг производится путем повторного перерасчета с введением  $Q = Q_{\text{опт}}$ . Результаты расчета с учетом поправки на сдвиг представлены на фиг. 8.

При необходимости уточнения расчет может быть продолжен далее.

По результатам проделанной работы можно сделать следующие выводы:

1. Расчет и оптимизация рам относятся к классу задач нелинейного математического программирования, так как функция цели, выбранная нами как объем, является нелинейной и определяет систему с минимальным расходом цели в области допустимых систем, соответствуя при этом равнопрочной системе.

2. Задача оптимизации может решаться с использованием методов диакоптики - путем расчленения сложных систем на более простые.

3. В отличие от существующих методов оптимизации рам для ряда задач более рационально использовать конечный элемент - портал взамен контура.

4. В результате расчетов установлена аналогичность структур формул для расчета простых и сложных систем, что позволит поставить процесс оптимизации на ЭВМ.

5. Результаты, полученные в статье, могут быть использованы для дальнейших расчетов. Желательно в дальнейшем рассмотреть более полно классы нагрузок на порталную раму.

#### Л и т е р а т у р а

1. Богданов С.С., Иегги Э.М. Статический расчет и оптимальное проектирование многоконтурных рам. - Тр. Таллинск. политехн. ин-та, 1979, № 468.

2. Иегги Э.М. Основы оптимального проектирования рам. ТПИ, 1978.

De la possibilité d'utilisation d'une  
portique comme d'un élément fini dans  
l'optimisation des constructions étagées.

Résumé

Cet article-ci est consacré au problème de la recherche d'une solution optimale dans l'élaboration des structures des portiques. Le volume des matériaux utilisés dans les constructions a été le seul critère, qui a permis de résoudre le problème de l'élaboration des structures d'un volume minimal. Pour les investigations de ce problème et pour pouvoir obtenir un résultat en chiffres, on a choisi un portique à un étage, sous l'influence d'une charge uniformément répartie sur les poutres de portiques.

De prime abord on a calculé chaque portique séparément, puis il a fallu totaliser les résultats tout en tenant compte de leur influence mutuelle. Ensuite on a recherché les propriétés de la fonction du volume dans l'espace des paramètres de la rigidité.

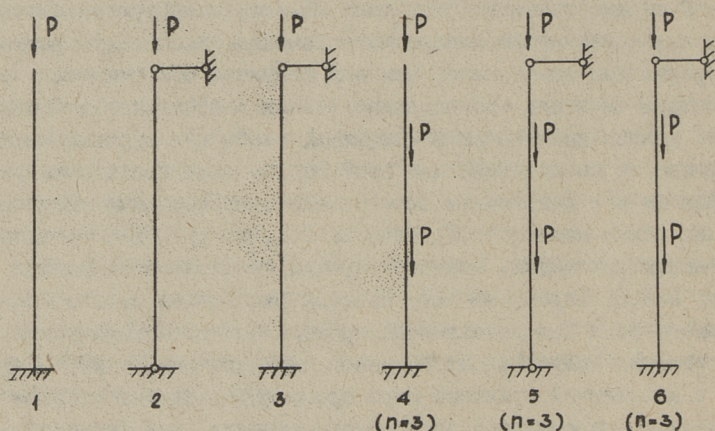
## ОПТИМИЗАЦИЯ МНОГОСТУПЕНЧАТЫХ СЖАТЫХ СТЕРЖНЕЙ

В строительных конструкциях широко используются сжатые элементы переменного поперечного сечения, поскольку расход материала для них меньше, чем для стержней постоянного поперечного сечения. Естественно возник вопрос, какое очертание должен иметь сжатый стержень, чтобы при определенной нагрузке он имел наименьший вес? Задача была поставлена уже Лагранжем и в дальнейшем исследовалась несколькими авторами. Из них можно назвать Н.Г. Ценцова [1], который дал решения для некоторых задач, соответствующих постоянной сжимающей силе, и Л.Н. Воробьева [2], который рассмотрел стойки наименьшего веса при действии распределенных сжимающих усилий. Эти решения получены для стержней плавного очертания. Однако, в инженерной практике шире применяются сжатые стержни ступенчато-переменного поперечного сечения, как технологически легче выполняемые. Также надо иметь в виду, что аналитически решаются далеко не все задачи такого типа, встречаемые в практике. Поэтому была поставлена задача разработки в широкой мере универсальной программы для расчета упругих ступенчато-переменных стержней, работающих на центральное сжатие.

Программа составлена на языке FORTRAN по методике, описанной в [3] и [4]. Она позволяет определить оптимальные поперечные сечения упругих стержней ступенчато-переменного поперечного сечения при следующих условиях закрепления: один конец стержня зашпелен (фиг. 1, схемы 1 и 4), оба конца свободно оперты (схемы 2 и 5) и случай, когда один конец зашпелен, а другой свободно оперт (схемы 3 и 6). Возможно расширение программы на другие случаи (например, упругие опоры или свободно опертый стержень с консольной частью). Исходные данные: типа опор, количество участков  $n$

( $n \leq 12$ ), длины отдельных участков, осевые нагрузки на границах участков и зависимость между моментом инерции и площадью поперечного сечения. Машина определяет критическую нагрузку стержня постоянного поперечного сечения, оптимальные площади поперечных сечений отдельных участков и объем стержня в сравнении с размером стержня постоянного поперечного сечения.

Выполнены расчеты для стержней, изображенных на фиг. 1.



Фиг. 1. Схемы закрепления и загрузки стержней.

Длины участков одинаковы:  $l = 1/n$ , где  $n$  - количество участков. Нагрузка на схемах 1, 2 и 3 - сила на конце стержня, на схемах 4, 5 и 6 - одинаковые силы на концах каждого участка. Зависимость между моментом инерции  $I$  и площадью поперечного сечения  $F$  следующая:

$$I = c F^q, \quad (I)$$

где  $q = 1$  (меняется ширина, толщина профиля постоянная),  $q = 2$  (пропорциональное изменение всех размеров поперечного сечения), или  $q = 3$  (меняется толщина при постоянной ширине). Результаты расчетов приведены в таблицах 1 и 2. В таблице 1 приведены площади поперечных сечений  $f_n \dots f_1$  отдельных участков ( $f_n$  - площадь верхнего участка,  $f_1$  - площадь нижнего участка; площадь поперечного сечения призматического стержня  $f_0 = 1000$ ) и относительный объем стержня  $W_n$  в про-

Таблица I

n	f <sub>i</sub> w(%)	Стержень, нагруженный одной силой									Стержень, нагруженный группой сил								
		Схема 1			Схема 2			Схема 3			Схема 1			Схема 2			Схема 3		
		q=1	q=2	q=3	q=1	q=2	q=3	q=1	q=2	q=3	q=1	q=2	q=3	q=1	q=2	q=3	q=1	q=2	q=3
2	f <sub>2</sub> f <sub>1</sub> w(%)	605 1185 89,5	728 1132 92,9	795 1099 94,7	1000 1000 100	1000 1000 100	1098 875 99,6	1063 919 99,1	1049 937 99,3	498 1189 84,4	660 1128 89,4	743 1097 92,0	934 1057 99,5	959 1036 99,7	970 1026 99,8	1024 961 99,9	1015 974 99,9	1015 983 99,9	
3	f <sub>3</sub> f <sub>2</sub> f <sub>1</sub> w(%)	427 942 1219 86,2	585 978 1148 90,4	676 994 1111 92,7	756 1278 756 93,0	845 1173 845 95,5	882 1134 882 96,6	1024 1236 672 97,7	1000 1136 806 98,0	286 817 1235 77,9	464 901 1163 84,3	577 928 1130 87,8	586 1252 896 91,1	716 1173 934 94,1	790 1129 947 95,6	811 1188 917 97,2	873 1080 922 98,1	926 1080 954 98,7	
4	f <sub>4</sub> f <sub>3</sub> f <sub>2</sub> f <sub>1</sub> w(%)	324 769 1077 1222 84,8	494 860 1062 1152 89,2	607 901 1045 1114 91,7	604 1186 1186 604 89,5	731 1128 1128 731 92,9	794 1099 1099 794 94,7	787 1216 560 1152 94,8	852 1084 731 1135 95,9	189 555 984 1252 74,7	350 717 1013 1176 81,4	475 789 1021 1132 85,4	411 1022 1290 752 86,8	575 1030 1190 842 90,9	681 1024 1152 868 93,1	505 1069 618 1408 90,0	660 1026 682 1314 92,0	726 1038 783 1205 93,8	
5	f <sub>5</sub> f <sub>4</sub> f <sub>3</sub> f <sub>2</sub> f <sub>1</sub> w(%)	262 647 944 1130 1219 84,0	433 775 977 1093 1148 88,5	542 830 987 1075 1120 91,1	501 1064 1246 1064 501 87,5	648 1052 1171 1052 648 91,4	729 1042 1133 1042 729 93,5	672 1249 1055 369 1056 88,0	781 1131 1031 647 1053 93,6	132 438 790 1060 1226 72,8	276 600 874 1057 1175 79,6	392 683 920 1046 1153 83,9	306 829 1211 1223 649 84,4	476 902 1152 1156 761 89,0	589 938 1114 1115 819 91,5	391 973 1086 465 1313 84,6	574 1007 1055 619 1203 89,2	676 1006 1061 703 1143 91,8	

6	f <sub>6</sub>	221	386	504	424	586	678	595	719	796	83	230	345	244	410	530	320	517	601			
	f <sub>5</sub>	548	710	766	944	983	994	I208	II48	III7		284	490	597	673	794	846	865	942	963		
	f <sub>4</sub>	829	902	935	I219	II44	II09	I293	I210	II53		612	752	834	1070	1062	1046	1203	II49	II07		
	f <sub>3</sub>	I031	I033	I027	I219	II44	II09	851	935	942		907	953	978	1269	II88	II56	951	967	964		
	f <sub>2</sub>	II61	III4	I088	944	983	994	335	489	588		II34	I094	I064	II46	II06	I080	460	613	726		
	f <sub>1</sub>	I224	II53	II21	424	586	678	968	958	985		I267	II83	II47	567	700	770	1237	II44	II34		
	w(%)	83,6	88,1	90,7	86,2	90,4	92,7	87,5	91,0	93,0		71,4	78,4	82,8	82,8	87,7	90,4	83,9	88,9	91,6		
	7	f <sub>7</sub>	I93	357	463	372	538	643	499	649		736	88	196	312	198	362	482	249	430	527	
		f <sub>6</sub>	469	638	725	846	918	942	I074	I059		I043		256	422	542	537	709	778	672	766	873
		f <sub>5</sub>	731	836	886	II48	II04	I078	I256	II69		II39		517	648	730	937	976	992	1028	1004	I052
f <sub>4</sub>		937	973	989	I248	II62	II24	I040	I031	I030	770	856		913	II88	II38	II06	1048	997	I063		
f <sub>3</sub>		I086	I066	I053	II48	II04	I078	445	589	698	973	I003		I005	I259	II81	II40	503	600	771		
f <sub>2</sub>		II83	II24	I096	846	918	942	608	738	801	II30	III5		I084	I067	I055	I044	829	967	887		
f <sub>1</sub>		I229	II52	III8	372	538	643	II95	II59	I094	I221	II83		II49	508	651	733	1512	I361	II92		
w(%)		83,3	87,8	90,4	85,4	89,7	92,1	87,4	91,3	93,4	70,9	77,5		81,9	81,8	86,8	89,7	83,4	87,5	90,9		
8		f <sub>8</sub>	I75	331	438	329	496	607	447	600	704	50		169	281	165	328	437	205	380	483	
		f <sub>7</sub>	417	590	692	766	859	900	988	999	I008			I78	373	506	479	638	715	564	732	798
	f <sub>6</sub>	659	781	841	I075	I061	I047	I232	II51	II20	400		569	658	823	890	937	936	988	I028		
	f <sub>5</sub>	856	919	951	I224	II53	III4	II72	III4	I090	644		771	845	I090	I076	I063	II03	I073	I073		
	f <sub>4</sub>	I008	I018	I019	I224	II56	III4	799	875	914	860		927	967	I242	II73	II38	908	928	961		
	f <sub>3</sub>	III8	I086	I066	I075	I061	I047	248	417	523	I035		I036	I026	I230	II63	II31	310	471	590		
	f <sub>2</sub>	II89	II30	I098	766	859	900	736	848	878	II73		II24	I087	996	I007	IOI2	943	997	I000		
	f <sub>1</sub>	I224	II51	III4	329	496	607	I202	II54	III3	I252		II77	II36	455	605	697	I494	I293	II86		
	w(%)	83,1	87,6	90,2	84,8	89,2	91,7	85,3	89,5	91,9	69,9		76,8	81,4	81,0	86,1	89,1	80,8	85,8	89,0		

Продолж. табл. I

$f_{12}$	I2I	26I	369	2I7	39I	500	308	48I	588	24	II7	22I	I02	235	346	II2	266	408
$f_{11}$	306	46I	577	549	707	770	76I	845	887	I05	224	328	272	462	566	365	534	60I
$f_{10}$	497	623	704	830	905	933	I053	I044	I035	2I3	399	532	525	669	738	656	78I	858
$f_9$	656	752	8I7	I03I	I030	I028	I208	II45	III5	367	533	64I	759	848	896	890	959	I000
$f_8$	790	857	907	II62	II08	I089	I240	II66	II33	5I6	650	726	955	987	I002	I043	I060	I050
$f_7$	890	939	970	I228	II47	II23	II47	II06	I080	67I	780	842	II09	I087	I07I	II0I	I09I	I073
$f_6$	984	I003	I0I2	I228	II47	II23	925	965	979	8I3	889	934	I2II	II53	II2I	IOI6	IOI2	IOII
$f_5$	I054	I053	I045	II62	II07	I089	544	688	747	935	974	99I	I247	II76	II4I	722	763	8I8
$f_4$	III0	I092	I070	I03I	I030	I028	I5I	3I3	446	I040	I044	I037	I20I	II45	III4	230	377	509
$f_3$	II50	II22	I090	830	965	933	576	707	772	II27	II04	I080	I057	I047	I040	75I	849	896
$f_2$	II77	II4I	II04	549	707	770	949	980	992	II9I	II49	III7	78I	854	896	II73	II3I	I072
$f_1$	II90	II50	IIII	2I7	39I	500	II57	II20	I02I	I225	II73	II39	3I4	490	604	I373	I262	I2I3
w(%)	82,8	87, I	89,8	83,6	88, I	90,7	83,5	88,0	90,6	68,6	75,3	79,9	79,4	84,6	87,8	78,6	84,0	87,6
$\infty$ w(%)	82,25	87	-	82,25	87	-	-	-	-	-	-	-	-	-	-	-	-	-

центах в сравнении с объемом призматического стержня. В последней строке таблицы  $W_\infty$  относительный объем стержня плавного очертания.

В таблице 2 приведены коэффициенты  $\nu_p^2$  и  $\nu_q^2$  для определения критической нагрузки призматических стержней, нагруженных группой равных сил, по формулам

$$P_{кр} = \nu_p^2 EI / L^2, \quad (2)$$

$$Q_{кр} = n P_{кр} = \nu_q^2 EI / L^2. \quad (3)$$

Одинаковые длины участков - не самое выгодное решение. В таблице 3 приведены оптимальные длины отдельных участков и соответствующие площади поперечных сечений для стойки, нагруженной силой на конце и деленной на 2 или 3 части. Общая длина стержня  $L = 1$ , площадь поперечного сечения призматического стержня  $f_0 = 1000$ . В таблице дан и относительный объем стойки  $W$  в процентах. В последних четырех строчках приведен для сравнения относительный объем при делении стойки на  $n$  частей равной длины.

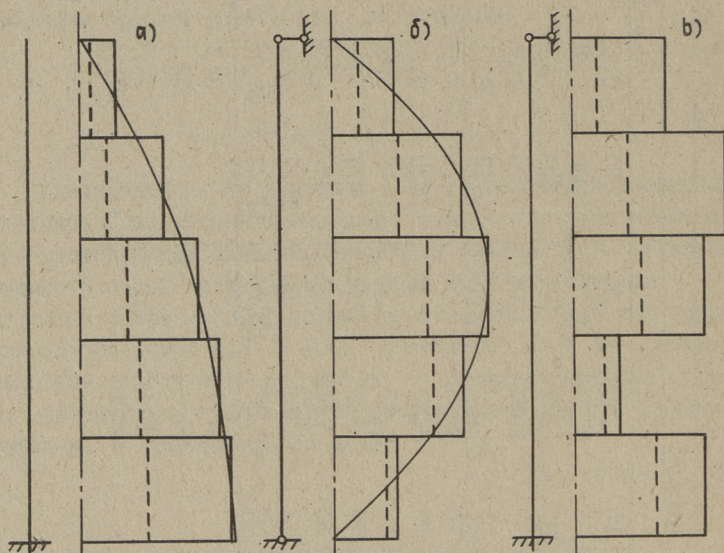
Т а б л и ц а 2

n	Схема 4		Схема 5		Схема 6	
	$\nu_p^2$	$\nu_q^2$	$\nu_p^2$	$\nu_q^2$	$\nu_p^2$	$\nu_q^2$
2	2,07	4,14	6,56	13,12	14,60	29,20
3	1,67	5,02	4,82	14,45	11,98	35,95
4	1,40	5,56	3,82	15,28	9,87	39,48
5	1,19	5,93	3,17	15,83	8,35	41,75
6	1,03	6,19	2,70	16,22	7,23	43,35
7	0,91	6,40	2,36	16,52	6,36	44,54
8	0,82	6,55	2,09	16,75	5,68	45,46
12	0,59	6,94	1,44	17,31	3,97	47,68
$\infty$	-	7,83	-	18,5	-	52,5

Для каждого значения  $q$ , даны 3 варианта, близких оптимальному решению. Видно, что в этой области довольно большие изменения относительных длин вызывают только незначительные изменения в объеме.

		Схема I																						
n		q <sub>1</sub> = 1		q <sub>2</sub> = 2		q <sub>3</sub> = 3																		
		l <sub>2</sub>	l <sub>1</sub>	f <sub>2</sub>	f <sub>1</sub>	w(%)	l <sub>3</sub>	l <sub>2</sub>	l <sub>1</sub>	f <sub>3</sub>	f <sub>2</sub>	f <sub>1</sub>	w(%)	l <sub>3</sub>	l <sub>2</sub>	l <sub>1</sub>	f <sub>3</sub>	f <sub>2</sub>	f <sub>1</sub>	w(%)				
2	l <sub>2</sub>	0,25	0,30	0,35	0,25	0,30	0,35	0,20	0,25	0,30	0,35	0,20	0,25	0,30	0,15	0,15	0,15	0,20	0,25	0,30	0,25	0,20	0,25	0,30
	l <sub>1</sub>	0,75	0,70	0,65	0,75	0,70	0,65	0,70	0,65	0,60	0,55	0,60	0,55	0,60	0,65	0,60	0,55	0,65	0,60	0,55	0,60	0,65	0,60	0,55
	f <sub>2</sub>	322	387	442	492	543	600	600	539	492	543	600	600	539	478	488	475	478	488	475	478	488	475	478
	f <sub>1</sub>	1063	1084	1091	1050	1067	1081	1081	1029	1050	1067	1081	1081	1029	1057	1064	1075	1057	1064	1075	1057	1064	1075	1057
	w(%)	87,75	87,45	87,55	91,01	91,00	91,25	91,25	93,13	91,01	91,00	91,25	91,25	93,13	92,95	91,16	91,19	92,95	91,16	91,19	92,95	91,16	91,19	92,95
3	l <sub>3</sub>	0,15	0,15	0,20	0,10	0,15	0,15	0,20	0,15	0,15	0,15	0,15	0,20	0,15	0,15	0,15	0,15	0,20	0,15	0,15	0,15	0,20	0,15	0,15
	l <sub>2</sub>	0,25	0,30	0,25	0,25	0,25	0,30	0,25	0,25	0,25	0,30	0,25	0,25	0,25	0,25	0,25	0,30	0,25	0,25	0,30	0,25	0,25	0,25	0,30
	l <sub>1</sub>	0,60	0,55	0,55	0,65	0,60	0,55	0,55	0,60	0,65	0,60	0,55	0,55	0,60	0,65	0,60	0,55	0,65	0,60	0,55	0,60	0,65	0,60	0,55
	f <sub>3</sub>	197	198	262	279	300	362	362	478	279	300	362	362	478	488	488	475	478	488	475	478	488	475	478
	f <sub>2</sub>	595	640	678	654	734	765	765	767	654	734	765	765	767	800	800	832	767	800	832	767	800	832	767
f <sub>1</sub>	1116	1138	1138	1073	1084	1099	1099	1057	1073	1084	1099	1099	1057	1064	1064	1075	1057	1064	1075	1057	1064	1075	1057	
w(%)	84,77	84,76	84,77	88,88	88,77	88,80	88,80	91,23	88,88	88,77	88,80	88,80	91,23	91,16	91,16	91,19	91,23	91,16	91,19	91,23	91,16	91,19	91,23	
2	l <sub>3</sub>	89,5	89,5	89,5	88,88	88,77	88,80	92,9	88,88	88,77	88,80	88,80	92,9	94,7	94,7	94,7	92,9	94,7	94,7	94,7	92,9	94,7	94,7	94,7
	l <sub>2</sub>	86,2	86,2	86,2	86,2	86,2	86,2	86,2	86,2	86,2	86,2	86,2	86,2	86,2	86,2	86,2	86,2	86,2	86,2	86,2	86,2	86,2	86,2	86,2
	l <sub>1</sub>	84,8	84,8	84,8	84,8	84,8	84,8	84,8	84,8	84,8	84,8	84,8	84,8	84,8	84,8	84,8	84,8	84,8	84,8	84,8	84,8	84,8	84,8	84,8
	f <sub>3</sub>	84,0	84,0	84,0	84,0	84,0	84,0	84,0	84,0	84,0	84,0	84,0	84,0	84,0	84,0	84,0	84,0	84,0	84,0	84,0	84,0	84,0	84,0	84,0
	f <sub>2</sub>	84,0	84,0	84,0	84,0	84,0	84,0	84,0	84,0	84,0	84,0	84,0	84,0	84,0	84,0	84,0	84,0	84,0	84,0	84,0	84,0	84,0	84,0	84,0

Деление стержня на 2 части с оптимальными длинами соответствует с точки зрения расхода материала примерно делению на 3 части с одинаковыми длинами, деление на 3 части с разными длинами - делению на 4 - 5 частей с одинаковыми длинами.



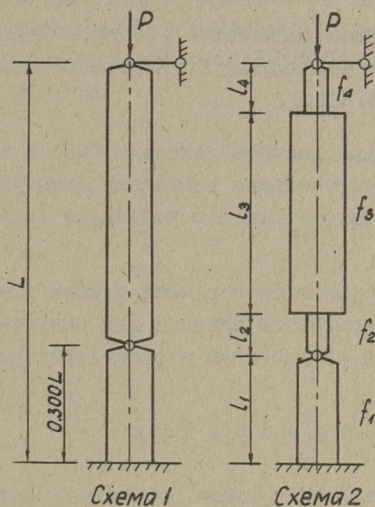
Фиг. 2. Оптимальные поперечные сечения при  $q = 1$  и  $n = 5$ .

На фиг. 2 изображены стержни наименьшего объема при  $q = 1$  и разных условиях закрепления. Стержни разделены на 5 равных частей. Сплошные линии соответствуют случаю сжатия стержня одной силой (схемы 1-3), пунктирные линии - несколькими одинаковыми силами; суммарные нагрузки в обоих случаях одинаковы. Кривая линия (парабола) - очертание стержня наименьшего объема с плавным изменением поперечного сечения.

"Идеальная форма" статически неопределимого стержня (фиг. 2, в) приближается к форме статически определимого стержня (фиг. 3) с поднятым нижним шарниром.

При увеличении количества участков оптимальная форма статически неопределимого стержня (фиг. 1, схема 3) приближается к статически определимому стержню с образованием шарнира в нижней трети, в стержне постоянного поперечного

сечения этот шарнир должен находиться на высоте  $0,300 L$  (фиг. 3, схема 1). Для сравнения определены оптимальные поперечные сечения стержня такого типа, имеющего 4 участка (фиг. 3, схема 2). Результаты вычислений для стержней с разным показателем степени  $q$  в формуле  $I = c F^q$  приведены в таблице 4, где указана длина участка  $l_i$  и относительная площадь поперечного сечения  $f_i/f_0$ . Здесь  $f_0$  - площадь поперечного сечения призматического стержня. Также дан объем стержня  $W$  в процентах от объема призматического стержня.



Фиг. 3. Стержни с поднятым шарниром.

Т а б л и ц а 4

Номер участка п/п	$q = 1$		$q = 2$		$q = 3$	
	$l_i$	$f_i/f_0$	$l_i$	$f_i/f_0$	$l_i$	$f_i/f_0$
4	0,11	0,417	0,12	0,567	0,09	0,616
3	0,50	1,149	0,49	1,142	0,555	1,073
2	0,11	0,417	0,12	0,567	0,09	0,906
1	0,28	0,844	0,27	0,881	0,265	0,906
W (%)	90,26		92,00		94,65	

## Выводы

1. Эффект оптимизации поперечных сечений больше для распределенных сил, чем для одной силы на конце стержня; в первичном случае экономия материала может достигнуть до 30 % и более, в зависимости от характера нагрузки.

2. Экономия материала зависит от показателя степени  $q$ , в формуле  $I = F^q$ , для меньших значений  $q$  экономия больше, чем для больших.

3. С увеличением количества участков статически неопределимые стержни приближаются к статически определимым путем возникновения шарнира.

4. Сравнительные расчеты показали, что в области оптимального решения даже большие изменения длин участков и поперечных сечений вызывают только небольшие изменения в объеме.

5. Применение участков с разной длиной позволяет уменьшить количество участков на единицу для получения примерно одинакового эффекта со стержнем с участками одинаковой длины.

## Литература

1. Ченцов Н.Г. Стойки наименьшего веса - Труды ЦАГИ, вып. 265, М., 1936.

2. Воробьев Л.Н. Некоторые случаи устойчивости колонн, объем которых минимум для заданной нагрузки. - Изв. Новочеркасского индустриального института, т. IУ/ХУІІІ, 1938.

3. Ээк Р.Н. Определение критической нагрузки и частот собственных колебаний упругих рам методом единичных сил. - Тр. Таллинск. политехн. ин-та, серия А, 1970, № 297.

4. Ээк Р.Н. Некоторые разновидности метода единичных сил для определения критической нагрузки упругих рам и стержней. - Тр. Таллинск. политехн. ин-та, 1972, № 321.

5. Ээк Р.Н. Ступенчато-переменные упругие стойки наименьшего объема, работающие на центральное сжатие - Тр. Таллинск. политехн. ин-та, 1977, № 428.

Multisectioned Columns of Optimal Measurements

Summary

This paper deals with optimal measurements of axially loaded elastic columns, consisting of many prismatic sections. The columns may have various supporting conditions and carry one load on the top or equal loads on the tops of every section. The number of sections may amount to 12. The results are presented in tables.

The program is written in FORTRAN and may be used for any form of loading.



## О НЕКОТОРЫХ СВОЙСТВАХ ОПТИМАЛЬНЫХ ПЛОСКИХ СИСТЕМ

В статье излагаются некоторые свойства оптимальных балок-стенок, спроектированных как равнопрочные системы.

При изучении влияния различных соотношений прочностных характеристик материала  $\kappa = \frac{[\sigma]_{\oplus}}{[\sigma]_{\ominus}}$  и параметров ортотропности  $e = \frac{E_y}{E_x}$  на прочные размеры толщины стенки.

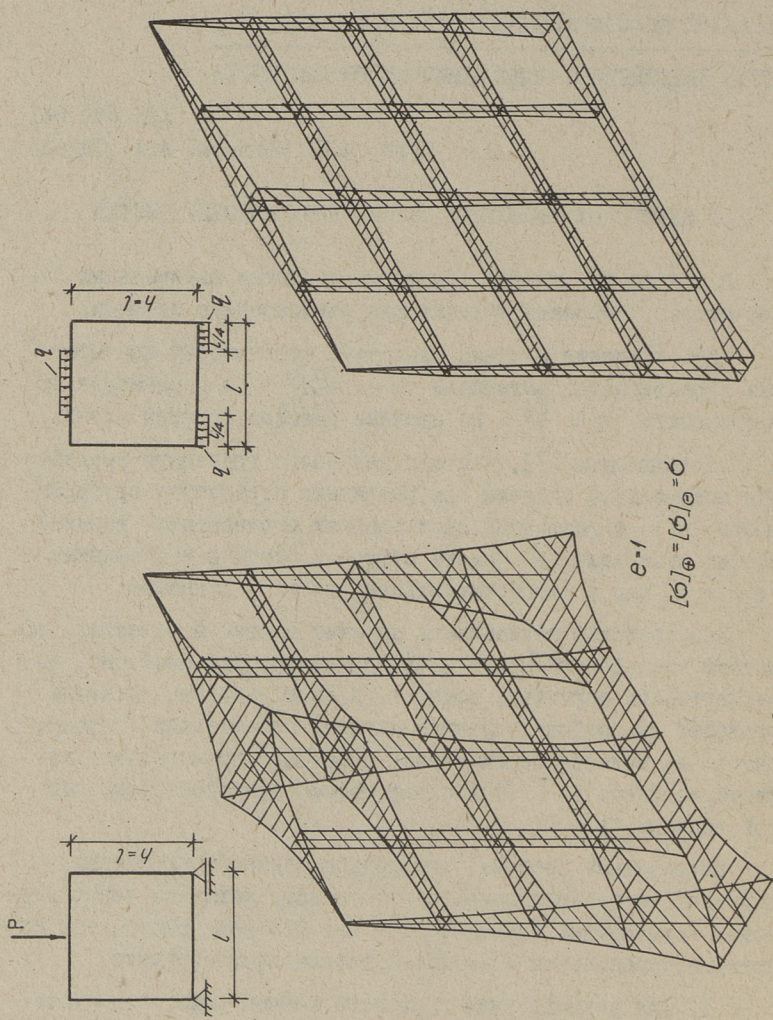
Установлено [1], что для заданного грузового воздействия оптимальные системы при различных параметрах ортотропности ( $e$ ) и различных соотношениях прочностных характеристик материала ( $\kappa$ ) имеют общность формы или с аффинным ( $e = \nu a r$ ) или с пропорциональным ( $\kappa = \nu a r$ ) подобием.

Это свойство оптимальных плоских систем в условиях заданных воздействий может быть определено как свойство инвариантности структур, которое, в свою очередь, позволяет провести дальнейшее изучение свойств оптимальных плоских систем на примере балок-стенок с равными прочностными характеристиками ( $\kappa = 1$ ) и с параметром ортотропности, равным единице ( $e = 1$ ).

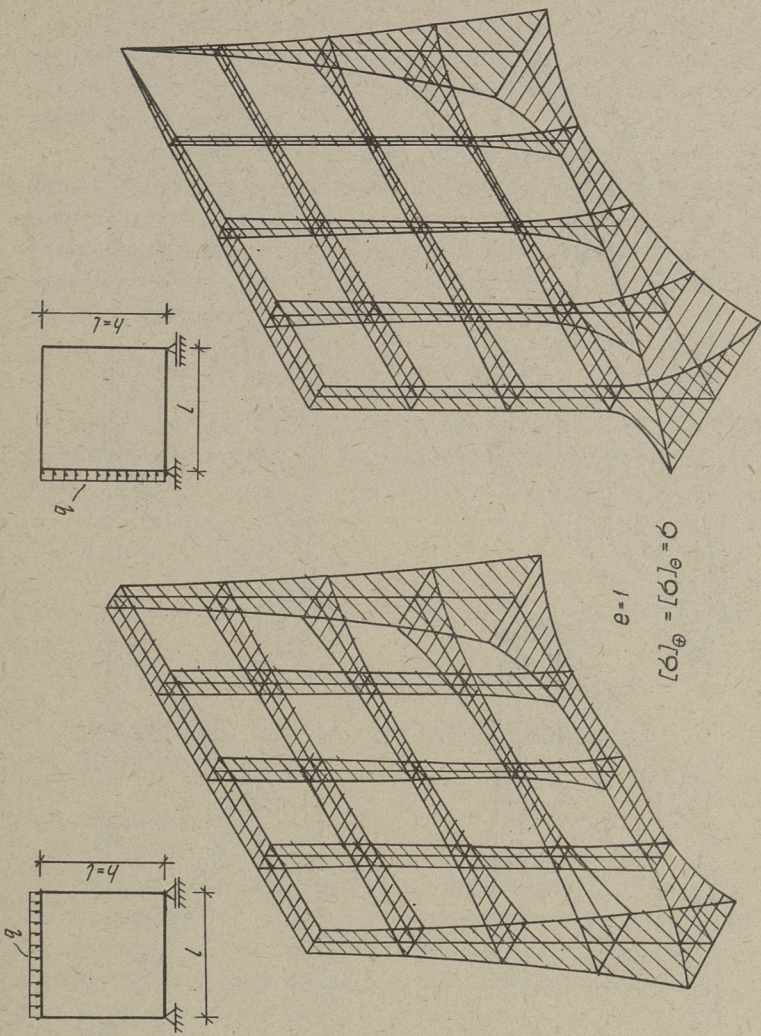
Оптимальные системы, как равнопрочные балки-стенки, приводятся для четырех наиболее часто встречающихся видов грузовых воздействий (см. фиг. 1 и 2). При этом выявляются некоторые особенности и свойства оптимальных структур.

1. Для каждого вида грузового воздействия можно установить силовые линии, как направления передачи нагрузки на опоры. Эти силовые линии устанавливаются из статических соображений и приводятся для выбранных видов воздействий на фиг. 3.

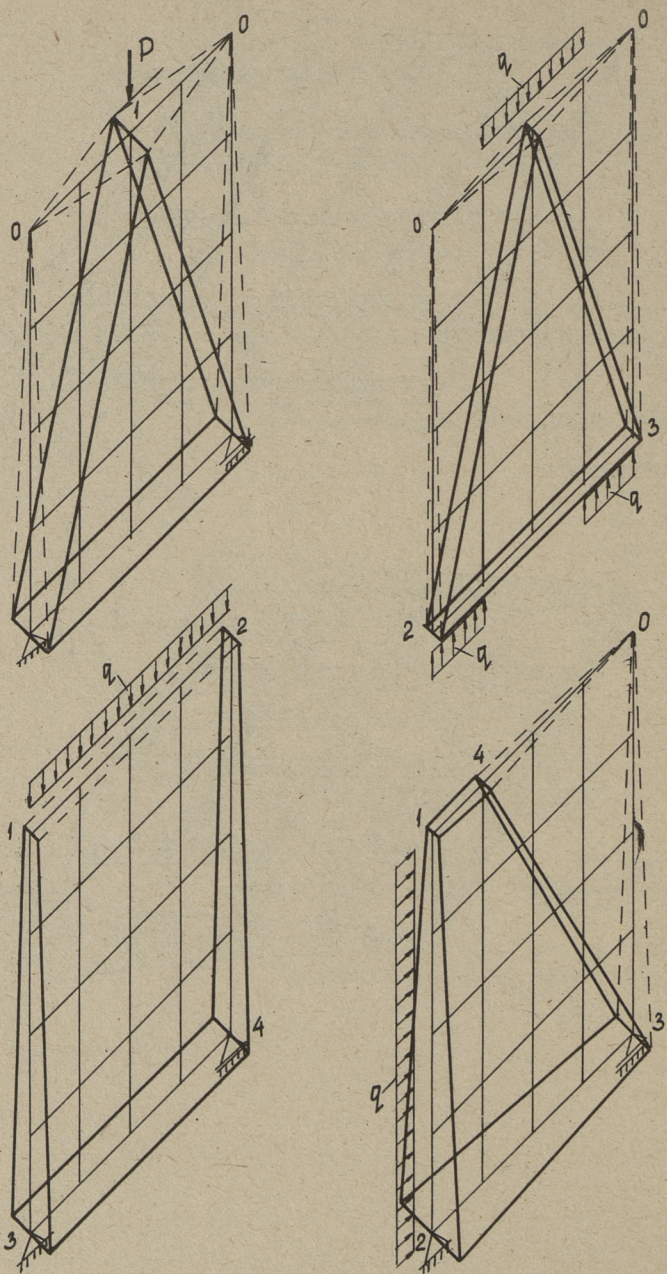
2. Вдоль линий передачи грузовых воздействий (силовых линий) устанавливаются максимальные значения толщин балки-стенки.



Фиг. 1. Задача штампа в предельных формах.



Фиг. 2. Задача влияния распределенной нагрузки.



Фиг. 3. Силовые линии различных форм загрузки.

3. Толщины балки-стенки на неработающих участках, при-  
мыкающих к силовым линиям, плавно убывают с вырождением к  
нулевым значениям толщин в незагруженных и удаленных от си-  
ловых линий сечениях.

4. Свойства плоских оптимальных систем позволяют обсу-  
дить оптимальный способ армирования балок-стенок в направ-  
лениях силовых линий - либо в виде ребер жесткости, в ме-  
таллических конструкциях, либо в виде брусков выходной не-  
сущей способности в бетонных конструкциях, с заполнителем  
как конструктивной средой.

#### Л и т е р а т у р а

И. К о п п е л ь П.И. Оптимальные балки-стенки как  
равнопрочные системы. - Тр. Таллинск. политехн. ин-та, 1981,  
№ 507.

E. Jõgi, P. Koppel,  
A. Sarap

#### Optimal Wall Beams as Uniform Strength Structures

##### Summary

In the paper the results of optimisation of thin walled  
short beams as structures of uniform strength under different  
moods of loading are given. Various strength properties are  
studied as well as the influence of shear stresses on uni-  
form strength structure.

Structures of uniform strength under the certain load  
are determined so that different nondimensional characteris-  
tics of orthotropy ( $\epsilon$ ) correspond to affined similarity,  
while different ratios of strength characteristics of mate-  
rial give proportional similarity.

Thickness variations of uniform strength plate are given  
in the characteristic sections. The section selections are  
fixed in the event of loading state on the plate.



АНАЛИЗ ВОЛНОВОГО НАПРЯЖЕННОГО СОСТОЯНИЯ  
В ОДНОСЛОЙНЫХ И СЛОИСТЫХ ПЛАСТИНАХ

Производится анализ напряженного состояния в однослойных и трехслойных пластинах, находящихся под воздействием осесимметричной кратковременной нагрузки, монотонно изменяющейся по сложному закону по времени и распределенной на некоторой ограниченной области лицевой поверхности пластины. Предполагается, что материал слоев пластины может быть изотропным или трансверсально-изотропным.

Работы в области исследований распространения упругих волн в слоистых средах и пластинах, число которых весьма большое, можно по назначению распределить на геофизические и технические. Для их решения разработаны разные аналитические и численные методы. Первые сформулированные задачи в этой области были исследования Лемба, посвященные изучению волнового поля в однородном полупространстве и в пластине. По представлению Лемба сжатие и сдвиг среды в точке контакта передаются от одного элемента среды к следующему с разными скоростями распространения волн расширения  $c_1$  и искажения  $c_2$  и в некоторый момент времени в окрестности точки приложения силы возникает сферический фронт волны расширения и сферический и конический фронты волны искажения. Кроме того, по поверхности пластины распространяется круговая поверхностная волна Релея. В случае распределенного по поверхности воздействия фронты Р и S усложняются плоскими участками. Задача Лемба имеет многочисленные применения и неоднократно привлекала внимание исследователей. Здесь нужно упомянуть фундаментальные теоретические результаты академиков В.И. Смирнова и С.Л. Соболева, в виде ими предложенного метода функционально-инва-

риантных решений и академиком В.И. Смирновым и независимо от него Каньяром предложенный метод неполного разделения переменных. Вышеупомянутыми методами решен ряд новых задач Н.В. Зволинским, Г.С. Подъяпольским, Г.И. Петрашенем и его сотрудниками.

Переходя от исследования упругого полупространства к исследованию упругой плиты нужно отметить следующее. Вначале, вплоть до момента выхода первой волны — прямой — продольной или первичной волны  $P$  на тыльную сторону плиты, в ней имеет место волновая картина, характерная для полупространства.

Свободная от внешних воздействий тыльная сторона пластины вносит изменения в волновую картину. Каждая из первичных элементарных волн  $P$  и  $S$  отражается от тыльной поверхности в виде двух указанных типов элементарных волн —  $PP$ ,  $PS$  и  $SP$ ,  $SS$  соответственно. Первые отраженные элементарные волны испытывают вышеупомянутый процесс отражения от лицевой поверхности. Далее происходят многократные отражения от обеих поверхностей плиты. Появляются новые элементарные волны, количество которых возрастает весьма быстро. В случае слоистых пластин поверхности раздела между слоями являются дополнительными источниками элементарных волн, при этом одна первичная элементарная волна возбуждает четыре элементарные волны отражения и преломления.

Если в приложениях геофизики обыкновенно представляют интерес сравнительно высокочастотные компоненты небольшого количества элементарных волн, то волновые процессы деформации технических конструкций определяются совокупностью многочисленных элементарных волн, раздельное исследование которых практически не осуществимо.

По вышеупомянутой причине решения, базирующиеся на уравнениях теории упругости, являются весьма целесообразными, дающими физически более достоверную картину явления.

В качестве методов решения уравнений движения используются аналитические и численные методы. Хотя аналитические методы, основывающиеся на способах интегрального преобразования, обладают большой общностью, теряют они свои

преимущества по причине трудностей, связанных с обратным преобразованием решений. Количество частных решений при этом будет весьма большим. Численные методы – метод конечных разностей, метод характеристик, метод конечных элементов дают в качестве результатов прямые сведения о волновых полях.

Результаты решения задач, принадлежащие к анализу в настоящей работе, получены методом конечных разностей (метод трехмерных сеток), который основательно описан в наших ранних работах [2], [3], [4] и [5].

Далее приводим некоторые уравнения и зависимости, использованные при решении задач.

Дифференциальные уравнения осесимметричного движения слоя пластины в безразмерных переменных

$$\rho = \frac{r}{h}, \quad \xi = \frac{z}{h}, \quad u = \frac{u_1}{h}, \quad w = \frac{u_3}{h}, \quad \tau = \frac{ct}{h} \quad (1)$$

представляются в следующем виде:

$$\begin{aligned} K^2 \left( \frac{\partial^2 u}{\partial \rho^2} + \frac{1}{\rho} \frac{\partial u}{\partial \rho} - \frac{u}{\rho^2} \right) + \left( \frac{\nu_1}{1-\nu_1} K_1 + K^2 \right) \frac{\partial^2 w}{\partial \rho \partial \xi} + K^2 \frac{\partial^2 u}{\partial \xi^2} &= \frac{1}{K_{11}^2} \frac{\partial^2 u}{\partial \tau^2}, \\ K^2 \left( \frac{\partial^2 w}{\partial \rho^2} + \frac{1}{\rho} \frac{\partial w}{\partial \rho} \right) + \left( \frac{\nu_1}{1-\nu_1} K_1 + K^2 \right) \left( \frac{\partial^2 u}{\partial \xi \partial \rho} + \frac{1}{\rho} \frac{\partial u}{\partial \xi} \right) + \frac{\partial^2 w}{\partial \xi^2} &= \frac{1}{K_{11}^2} \frac{\partial^2 w}{\partial \tau^2}. \end{aligned} \quad (2)$$

В выражениях (1) и в системе (2):  $r, z$  – цилиндрические координаты пластины;  $u_1, u_3$  – перемещения в направлении  $r$  и  $z$  соответственно;  $h$  – толщина слоя;  $t$  – время;  $c_{1gm}$  – скорость волны расширения слоя, имеющая наибольшее значение среди подобных скоростей (в случае многослойной пластины);

$c_{1\xi}$  – скорость волны расширения в направлении  $\xi$ ;  $c_{1\rho}$  – скорость волны расширения в направлении  $\rho$ ;  $c_2$  – скорость волны сдвига.

$$K^2 = c_2^2 / c_{1\xi}^2, \quad K_1 = E'/E, \quad K_2^2 = c_{1\rho}^2 / c_{1\xi}^2 = (1 - K_1 \nu^2) K_1 / (1 - \nu)^2, \quad K_{11} = c_{1\xi}^2 / c_{1gm}^2.$$

$E'E$  – модуль Юнга в плоскости изотропии и в плоскости, перпендикулярной к ней соответственно;  $\nu'$  – коэффициент Пуассона, характеризующий сокращения в плоскости изотропии при

растяжении в той же плоскости;  $\nu$  - коэффициент Пуассона, характеризующий сокращение в плоскости изотропии при растяжении в направлении, перпендикулярном к ней;  $G$  - модуль сдвига для плоскостей, нормальных к плоскости изотропии.

Напряжения в слое в безразмерной форме представляются следующими выражениями

$$\begin{aligned}\sigma_z &= \nu \left( \frac{\partial u}{\partial \rho} + \frac{u}{\rho} \right) + \frac{1-\nu'}{\kappa_1} \frac{\partial w}{\partial \xi}, \\ \sigma_\rho &= \frac{1-\kappa_1 \nu'^2}{1+\nu'} \frac{\partial u}{\partial \rho} + \frac{\nu'+\kappa_1 \nu'^2}{1+\nu'} \frac{u}{\rho} + \nu \frac{\partial w}{\partial \xi}, \\ \sigma_\theta &= \frac{\nu'+\kappa_1 \nu'^2}{1+\nu'} \frac{\partial u}{\partial \rho} + \frac{1-\kappa_1 \nu'^2}{1+\nu'} \frac{u}{\rho} + \nu \frac{\partial w}{\partial \xi}, \\ \tau_{z\rho} &= \frac{G}{\kappa_3} \left( \frac{\partial w}{\partial \rho} - \frac{\partial u}{\partial \xi} \right).\end{aligned}\tag{3}$$

где  $\kappa_3 = E' / (1 - \nu' - 2\kappa_1 \nu'^2)$ .

Для получения размерных напряжений  $\sigma_z$ ,  $\sigma_\rho$ ,  $\sigma_\theta$  и  $\tau_{z\rho}$  нужно соответствующие безразмерные величины умножить на коэффициент  $\kappa_3$ .

В случае изотропных слоев нужно заменить  $\nu' = \nu$ ,  $E' = E$ ,  $\kappa_1 = 1$ ,  $\kappa_2 = 1$ .

При решении уравнений движения (2) методом конечных разностей нужно удовлетворить соответствующие начальные, граничные и фронтовые условия. Определение последних происходит в согласии с законами геометрической оптики, состоящих в проведении лучей и построении соответствующих волновых фронтов.

Граничные условия следующие: на верхней поверхности пластины нормальные напряжения равняются внешней нагрузке, касательные напряжения равны нулю; на оси симметрии перемещение  $u = 0$  и касательное напряжение  $\tau_{z\rho} = 0$ ; на нижней поверхности пластины нормальные и касательные напряжения равны нулю; на фронте волны расширения перемещения равны нулю.

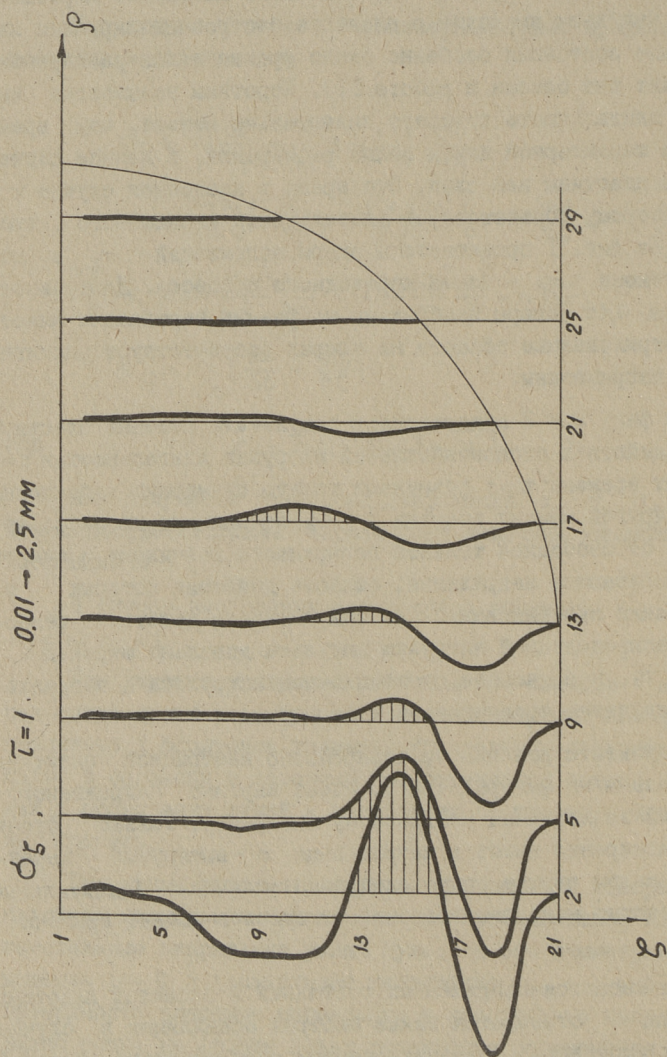
В случае слоистых пластин условиями Контанта на поверхностях раздела между слоями являются непрерывность перемещений и напряжений.

Переходя к обсуждению результатов расчета пластин нужно подчеркнуть обстоятельство, что одними из главных факторов, от которых зависит характер напряженного состояния пластины, являются форма и длительность импульса. Короткие резкие импульсы вызывают в пластине быстроосциллирующие напряженные состояния особенно около фронта волны расширения. Этот факт был описан в работе [1]. Коротким называется импульс, длительность которого значительно меньше, чем время пробега характерной длины волны расширения, в данном случае толщины пластины или слоя. Это время в настоящем случае  $\tau = 1$ , которому соответствует длительность переходного процесса. На фиг. 1 представлены эпюры напряжений  $\sigma_z$  в момент времени  $\tau = 1$  — конец переходного процесса. Длительность импульса  $0,1\tau$ . Эпюры изображены на разных вертикалях пластины. Заштрихованные области на эпюрах соответствуют растягивающим напряжениям.

На фиг. 2 и 3 представлены результаты решения пластины при воздействии экспоненциальной нагрузки длительностью  $\tau = 1$ . В момент времени  $\tau = 1$  возникают только сжимающие напряжения  $\sigma_z$ . В другой момент времени  $\tau = 1,4$  по причине процесса отражения от свободной тыльной поверхности возникают в пластине растягивающие напряжения, область действия которых на эпюре также заштрихована. Так как площадка действия равномерно распределенной нагрузки импульса довольно широкая  $d/h = 1,79$ , напряженное состояние под нагрузкой в направлении  $\rho$  является сравнительно однородным.

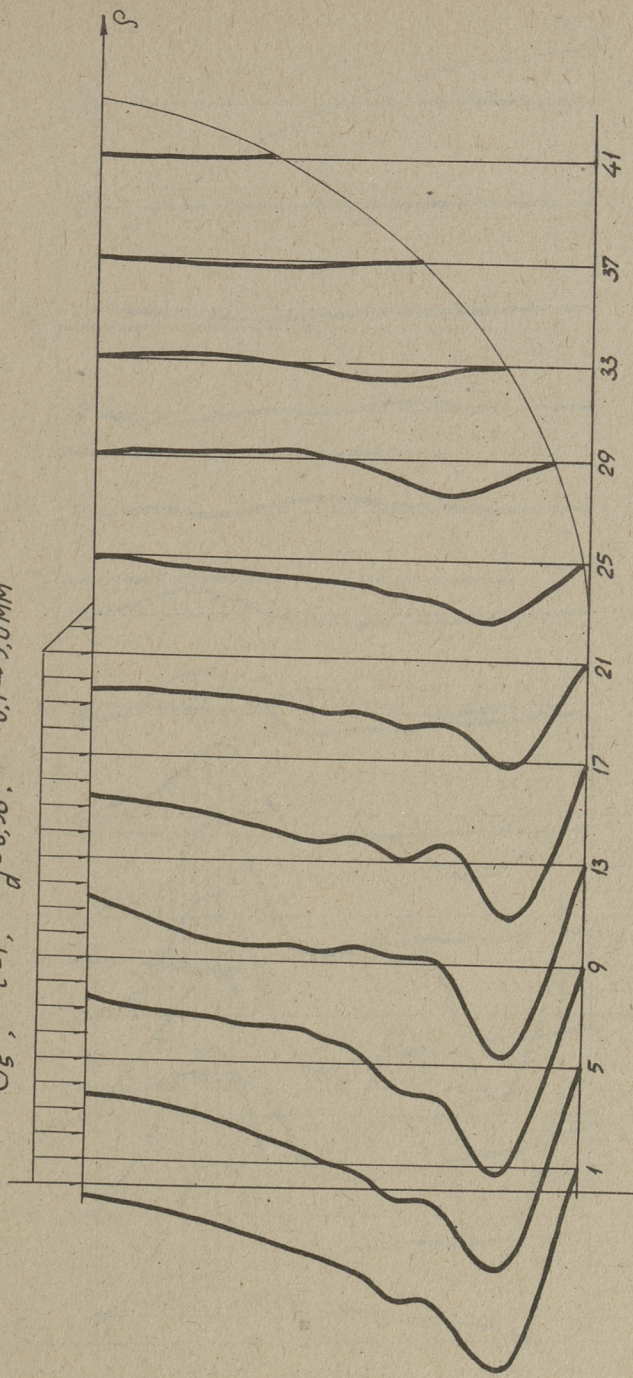
Результаты решения трансверсально изотропной пластины представлены на фигурах 4 и 5. Здесь картина напряженного состояния аналогичная изотропному материалу. Только фронт волны расширения имеет в направлении  $\rho$  вытянутый характер, в данном случае аппроксимирован эллипсом. Значительные растягивающие напряжения возникают здесь в момент времени  $\tau = 1,4$ .

Что касается напряженных состояний в слоистых пластинах, то здесь отмечается также быстрая осцилляция в случае коротких импульсов, с возникновением растягивающих областей около фронта. Особенно большие растягивающие напряжения возникают в последнем слое около свободной поверхности, где растягивающие напряжения возрастают благодаря процессу отра-

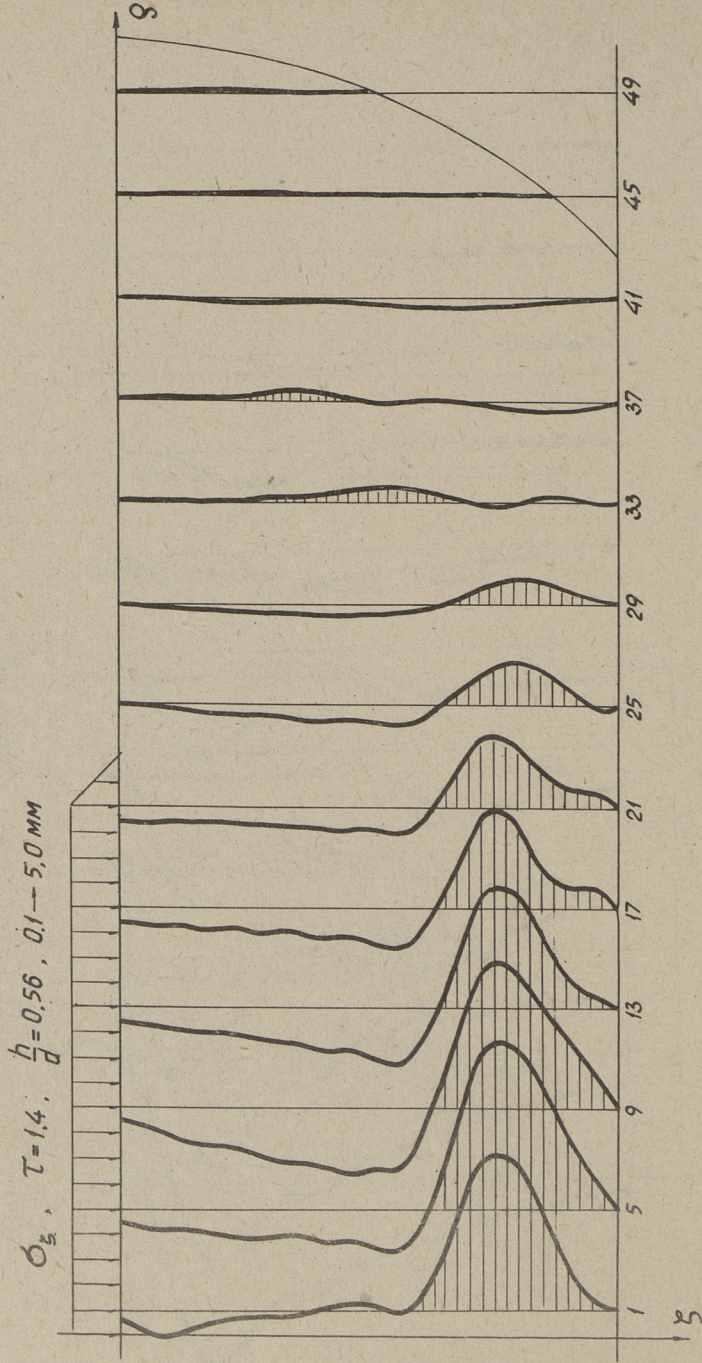


Фиг. 1. Эпюры  $\sigma_z$  в изотропной пластине при  $\tau = 1$ .

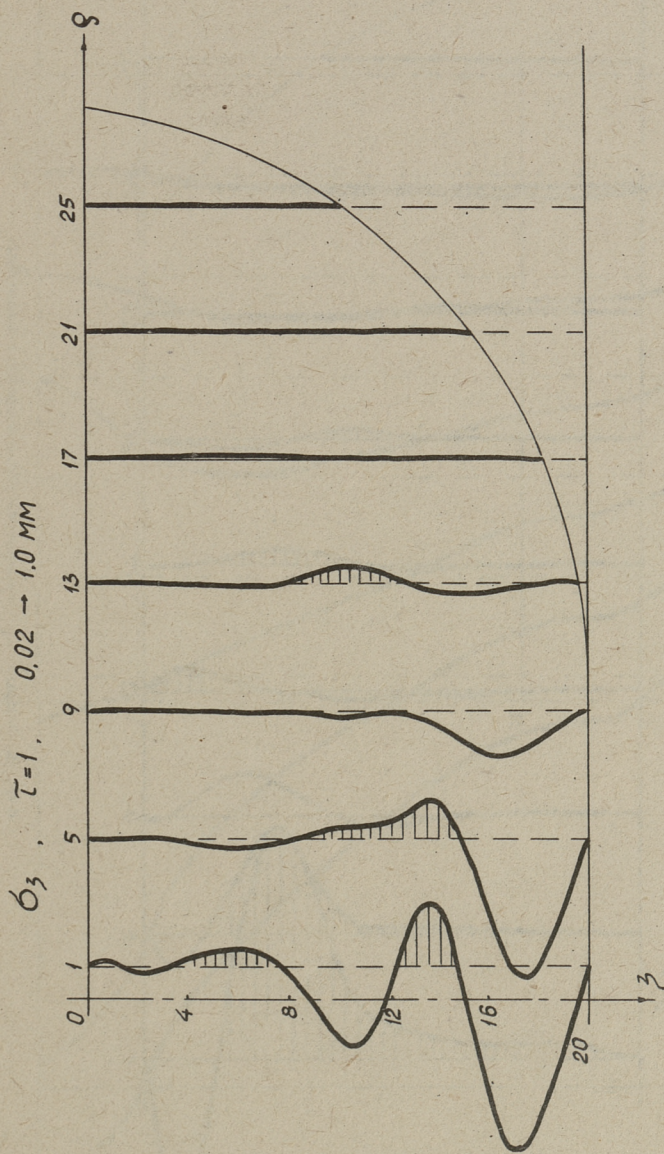
$\sigma_z, \tau = 1, \frac{h}{a} = 0,56, 0,1 \rightarrow 5,0 \text{ мм}$



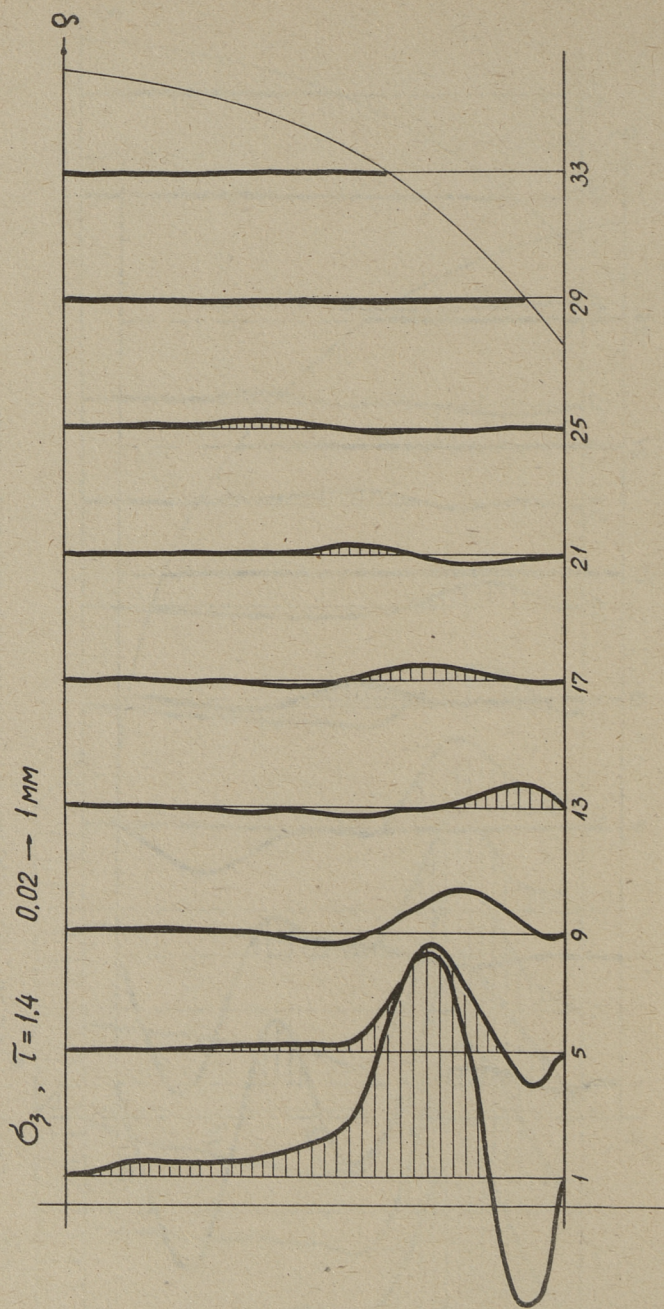
Фиг. 2. Эпюры  $\sigma_z$  изотропной пластины при  $\tau = 1$  и экспоненциальной нагрузке.



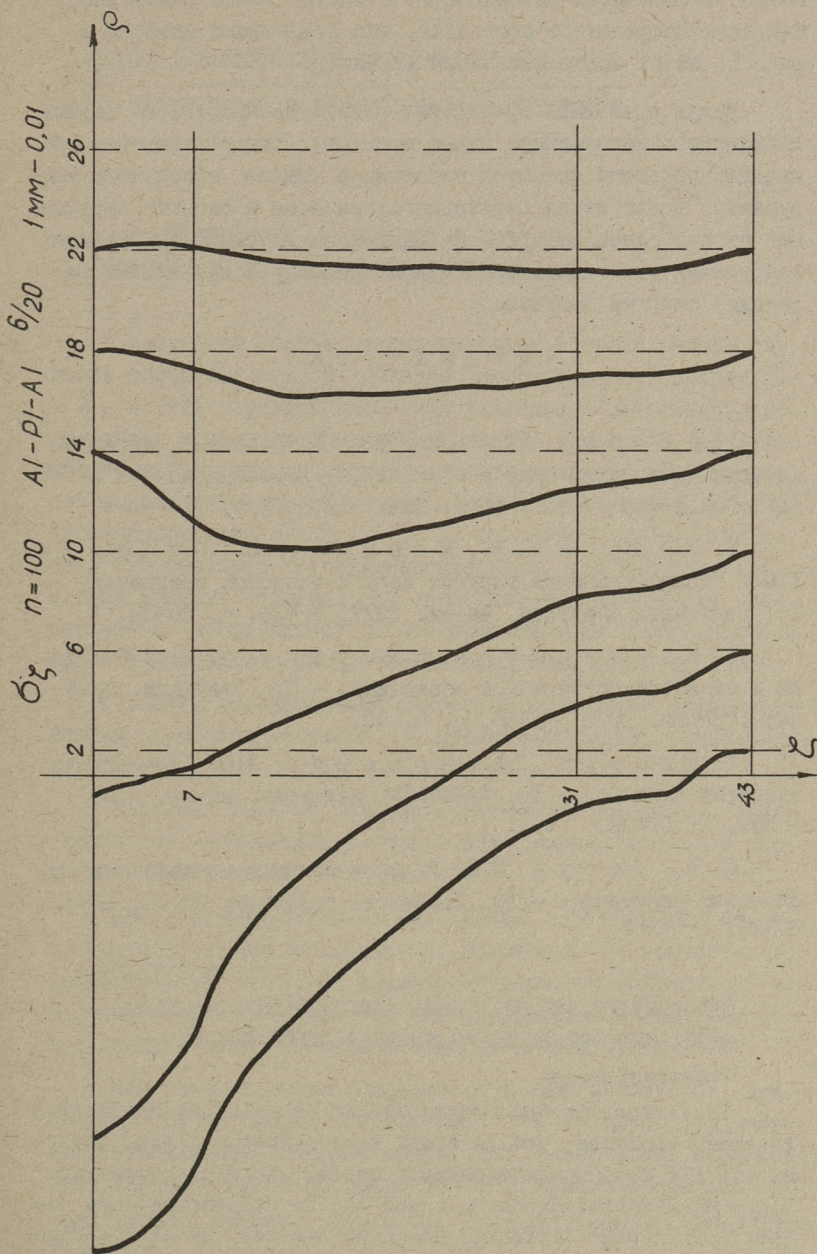
Фиг. 3. Эпюры  $\sigma_z$  анизотропной пластины при  $\tau = 1.4$  и экспоненциальной нагрузке.



Фиг. 4. Эпюры  $\sigma_z$  трансверсально-изотропной пластины при  $\tau = 1$ .



Фиг. 5. Эпюры  $\sigma_3$  трансверсально-изотропной пластины при  $\tau = 1.4$ .



Фиг. 6. Эпюры  $\sigma_{\zeta}$  в трехслойной пластине при  $\tau = 2,5$ .

жения от свободной поверхности. В случае более длительного импульса напряженное состояние, как показывают графики на фиг. 6, имеют более спокойный характер.

Желая оценивать прочностные свойства пластин в случае импульсного нагружения, нужно отметить, что растянутые области в пластине являются опасными в смысле откольного разрушения, после конца переходного процесса и первого отражения от свободной поверхности. Далее амплитуды растягивающих напряжений уменьшаются благодаря процессу затухания и рассеяния энергии импульса.

### Л и т е р а т у р а

1. А й н о л а Л., Н и г у л У. Волновые процессы деформации упругих плит и оболочек. - Известия АН ЭССР. Том XIV, Серия физ.-мат. и техн. наук. 1965, № 1.

2. К я э р д и Х.Х., М я н н и л А.Ю., П о в е р у с Л.Ю. Распространение упругих волн в слоистых преградах. - Тр. Таллинск. политехн. ин-та, 1977, № 428, с. 25-33.

3. К о р с у н с к и й В.Н., П о в е р у с Л.Ю. Волны в слоистых пластинах и оболочках. - Тр. Таллинск. политехн. ин-та, 1979, № 468, с. 51-60.

4. К я э р д и Х.Х., П о в е р у с Л.Ю. Динамика слоистых пластин. - Тр. Таллинск. политехн. ин-та, 1980, № 487, с. 69-79.

5. П о в е р у с Л.Ю. Упругие волны в однослойных и слоистых пластинах. - Тр. Таллинск. политехн. ин-та, 1981, № 507.

L. Poverus

#### Die Analyse der Wellenspannungszustände in einer einfachen und in einer geschichteten Platte

##### Zusammenfassung

Es werden die Spannungszustände der elastischen Wellen in einer einfachen und in einer geschichteten Platte untersucht. Als Bewegungsgleichungen werden die Gleichungen der linearen Elastizitätstheorie und als Berechnungsmethode die dreidimensionale Differenzenmethode benutzt. Es sind einige graphische Darstellungen der Spannungszustände beigefügt.

О РАСПРЕДЕЛЕНИИ НАПРЯЖЕНИЙ В ОБОЛОЧКАХ  
ПОЛОЖИТЕЛЬНОЙ ГАУССОВОЙ КРИВИЗНЫ

В настоящей статье рассматриваются вопросы работы пологих оболочек двоякой кривизны прямоугольных в плане  $L/l = 2 - 4$  (т.е. средней длины или длинные) с отношением продольных и поперечных радиусов кривизны  $R_1/R_2 > 5$ , то есть оболочек, которые по своим свойствам занимают промежуточное положение между цилиндрическими и пологими оболочками двоякой кривизны ( $R_1/R_2 < 2$ ). В дальнейшем будем называть эти оболочки квазицилиндрическими, так как при реальных краевых условиях эти оболочки, как показывают эксперименты, по характеру работы средней зоны продольного пролета близки к цилиндрическим оболочкам средней длины.

Оболочки положительной гауссовой кривизны в деформированном состоянии не имеют зон отрицательной гауссовой кривизны.

Реальные краевые условия вытекают из различия, соответственно, продольных и поперечных радиусов и длин в перпендикулярных краях оболочки.

Квазицилиндрическая оболочка как строительная конструкция состоит из трех основных элементов: 1) тонкостенная криволинейная плита, 2) продольные бортовые элементы, 3) поперечные бортовые элементы. Все эти элементы влияют на общее распределение внутренних сил всей конструкции.

Поверхность рассматриваемых оболочек образуется движением отрезка окружности радиусом  $R_2$  по двум параллельным направляющим, имеющим радиус  $R_1$  (поверхность переноса). Продольным радиусом оболочки является радиус направляющей  $R_1$ . Как обычно, вводится упрощающее предположение о постоянстве кривизны

$$R_1 = K_1^{-1} = \frac{(L/2)^2}{2f_1}; \quad R_2 = K_2^{-1} = \frac{(L/2)^2}{2f_2}.$$

Для такой пологой оболочки поперечные и продольные сечения можно приблизительно считать за вертикальные, при этом сечение вдоль пролета  $l$  условимся считать поперечным, а сечение вдоль пролета  $L$  — продольным, сохраняя эти понятия и для геометрических характеристик и усилий по обоим сечениям.

Упругие квазицилиндрические оболочки  $R_1/R_2 > 10$ ,  $L/l \geq 2$  исследовал В.С. Бартенев [1] при помощи технической теории В.З. Власова для пологих оболочек двойкой кривизны. Он предполагает, что оболочка в продольном направлении довольно пологая ( $f_1/L \leq 1/16$ ) и  $m_{12} = m_1 = Q_1 = 0$  и  $\varepsilon_2 = \omega = \nu = 0$ . Крепление криволинейной тонкостенной части с краевыми элементами считается шарнирным. В соответствии с общепринятыми обозначениями разрешающее дифференциальное уравнение запишется в виде

$$\Omega \Omega F(x, y) + R^2 c^2 \nabla_k^2 \nabla_k^2 F(x, y) = N.$$

Формулы для построения эпюр усилий и перемещений от воздействия внешней нагрузки на шарнирно опертую оболочку выведена при помощи решения этого дифференциального уравнения методом Навье. Влияние бортовых элементов учитывается при помощи методов, представленных в [1].

Для расчета оболочек на прямоугольном плане с разными кривизнами И.Е. Милейковским [2] разработан вариационный метод перемещений. При этом поверхность оболочки не заменяется складкой. Тангенциальные и нормальные перемещения оболочки представляются в виде одинарных рядов. Особенность решения состоит в том, что исходные уравнения элемента оболочки при помощи принципа возможных перемещений сводятся к обыкновенным дифференциальным уравнениям в перемещениях, минуя разрешающую форму записи уравнений в частных производных. Метод применен для оболочек окаймленных по контуру диафрагмами в виде арок с затяжками. Более крутые диафрагмы на поперечных краях при расчете оболочки принимаются жесткими в своих плоскостях, а диафрагмы по продольным краям — упругими. Рассчитываются диафрагмы совместно с оболочкой.

Представленный в настоящей статье метод расчета оболочек с трещинами базируется на методе аппроксимации сдвигающих сил Х.Х. Лаула [3]. Метод применен для оболочек положительной, нулевой и отрицательной гауссовой кривизны. Для последних оболочек предполагается, что условный диагональный свод со стрелой подъема  $f$  имеет выпуклость вверх.

Для всех этих оболочек применены однотипные уравнения с разными коэффициентами. При этом с модификациями уравнений учитываются и разные влияния дополнительных связей в краевых элементах.

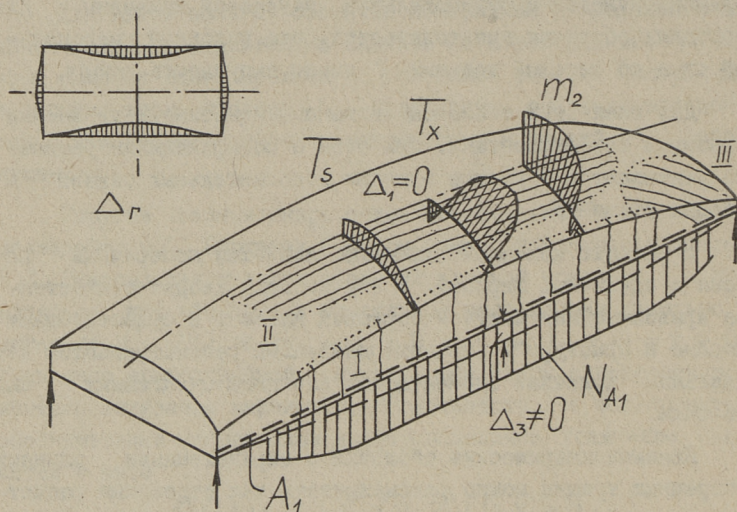
В расчете конечной полоской является поперечная полоска с единичной шириной. В эту полоску входят тонкостенная криволинейная часть и бортовой элемент с существующими опорами и арматурой. Торцевые диафрагмы рассматриваются как отдельные конечные элементы под влиянием сдвигающих сил оболочки.

Квазицилиндрические оболочки с определенными длинами поперечных трещин можно рассматривать как отдельные расчетные схемы. Для всех этих схем параметры приращения сдвигающих сил определяются при помощи минимизации общей потенциальной энергии.

Для сравнения разных расчетных схем можно применить теорему Лагранжа-Дирихле. Таким образом, для дальнейшего образования поперечных трещин требуется, чтобы  $\frac{\partial \Pi}{\partial l_{тр}} \leq 0$ . В оболочках положительной кривизны поперечные трещины имеют возможность развиться максимально до верха бортового элемента. Образующаяся сжатая зона продольных нормальных сил препятствует развитию поперечных трещин в криволинейную часть. Нейтральная линия и точка максимального сжатия находятся рядом друг с другом.

Под действием нагрузки поперечные сечения квазицилиндрических оболочек, в том числе и торцевые, могут изменять свою форму. Контур поперечного сечения из плоской кривой линии превратится в пространственную. Это говорит о том, что в оболочках имеются существенные поперечные изгибающие моменты. Деформация сечения свидетельствует о том, что оболочка не подчиняется закону Навье, а следовательно, продольные нормальные усилия изменяются не по линейному закону (см.

фиг. 1). По этой же причине изменение сдвигающих усилий не подчиняется формуле Журавского.

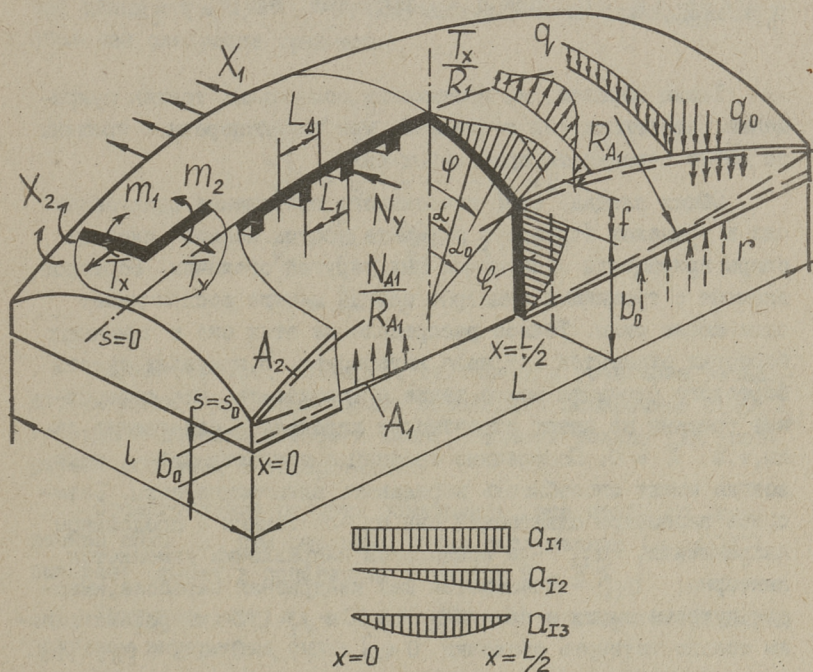


Фиг. 1. Принципиальное распределение внутренних сил в тонкостенной плите и в продольном арматурном стрингере в квазицилиндрической оболочке с поперечными трещинами. Зоны основных трещин: I - поперечных, II - продольных, III - наклонных.

Центральная величина в расчетах - функция напряжений - приращение сдвигающих сил  $\zeta(s, x) = \frac{\partial S}{\partial x}$  аппроксимируется в виде неизвестных параметров.  $\zeta(s, x)$  является величиной, которая уравнивает вертикальные нагрузки в единичных полосках и регулирует изгибающие моменты. В квазицилиндрических оболочках с поперечными трещинами для определения неизвестных параметров имеются только статические условия вертикального равновесия единичной полоски. Остальные уравнения получаются вариационным путем. Согласно принципу Кастильяно, действительное, возникающее в оболочке напряженное состояние отличается от всех статически возможных состояний тем, что потенциальная энергия оболочки при этом принимает минимальное значение. Нужно найти минимум функционала  $\Pi$  зависящего от восьми неизвестных  $T_x, T_y, S, m_1, m_2, m_{12}, Q_1$  и  $Q_2$ .

Отметим, что мы могли бы подвергнуть вариации не приращение сдвигающих сил  $\zeta(x, s)$ , а любое внутреннее усилие. Но оказывается, что варьировать приращением сдвигающих сил более целесообразно, так как через  $\zeta(x, s)$  можно в удобной форме выразить все остальные внутренние усилия.

Приращение сдвигающих сил  $\zeta(x, s)$  аппроксимируется в зоне без поперечных трещин (в пределах угла  $\alpha < \varphi$  и в зоне с поперечными трещинами (в пределах угла  $\alpha > \varphi$ ) в виде (см. фиг. 2).



Фиг. 2. Основные геометрические величины, расчетная схема, аппроксимация приращения сдвигающих сил.

$$\begin{aligned} \zeta(x, s) = & C_1 \left\{ C_3 \sum_{i=1}^n \sin \frac{i \alpha \pi}{\varphi} a_i + C_3 \frac{\alpha}{\varphi} \left[ a_{I1} + \frac{2x}{L} a_{I2} + \right. \right. \\ & \left. \left. + \frac{16x}{L^2} (L/2-x) a_{I3} \right] + C_4 \left[ a_{I1} + \frac{2x}{L} a_{I2} + \frac{16x}{L^2} (L/2-x) a_{I3} \right] \right\} + \\ & + C_2 \left[ a_{I1} + \frac{2x}{L} a_{I2} + \frac{16x}{L^2} (L/2-x) a_{I3} \right]. \end{aligned}$$

Для криволинейной части	$\alpha = \varphi$	$C_1 = I, C_2 = 0,$
для бортового элемента		$C_1 = 0, C_2 = I,$
для упругой зоны	$\alpha < \varphi$	$C_3 = I, C_4 = 0,$
для зоны с трещинами	$\alpha > \varphi$	$C_3 = 0, C_4 = I.$

Из первого статического уравнения

$$\frac{\partial T_x}{\partial x} + \frac{\partial S}{\partial s} + q_x = 0 \quad \text{при } q_x = 0 \text{ вытекает, что } T_x = \frac{\partial \xi}{\partial s}.$$

Таким образом, на протяжении поперечных трещин приращение сдвигающих сил постоянно, так как поперечные трещины не могут передавать продольных сил.

Общая площадь эпюр постоянного приращения сдвигающих сил в пределах бортового элемента всегда меньше площади эпюры приращения сдвигающих сил упругой оболочки. Бортовой элемент с трещинами суммарно всегда меньше воспринимает сдвигающие силы. Точное распределение этих сил в пределах бортовых элементов нас мало интересует. В пределах высоты бортового элемента можно также предполагать, что поперечные трещины не имеют способности передавать сдвигающие силы, т.е.  $\xi = 0$ . Поперечные трещины в тонкостенной плите всегда имеют способность передавать сдвигающие силы. Зависимые параметры сдвигающих сил  $Q_{11}$  - постоянны в продольном направлении,  $Q_{12}$  - в продольном направлении изменяется линейно,  $Q_{13}$  - изменяется как квадратная парабола, имеющая нулевые точки в сечениях  $x = 0$  и  $x = L/2$  (мы рассматриваем только четверть оболочки  $0 \leq x \leq L/2, 0 \leq s \leq s_0$ ). Независимые параметры  $Q_i$  считаем в продольном направлении оболочки постоянными.

Уравнения равновесия теории оболочек для пологих оболочек имеют вид

$$1. \quad \frac{\partial T_x}{\partial x} + \frac{\partial S}{\partial s} - \frac{Q_1}{R_1} + q_x = 0,$$

$$2. \quad \frac{\partial T_s}{\partial s} + \frac{\partial S}{\partial x} - \frac{Q_2}{R_2} + q_s = 0,$$

$$3. \quad \frac{T_x}{R_1} + \frac{T_s}{R_2} + \frac{\partial Q_2}{\partial s} + \frac{\partial Q_1}{\partial x} + q_z = 0,$$

$$4. \quad Q_1 - \frac{\partial m_1}{\partial x} + \frac{\partial m_{12}}{\partial s} = 0,$$

$$5. \quad Q_2 - \frac{\partial m_2}{\partial s} + \frac{\partial m_{12}}{\partial x} = 0.$$

Учитывая предпосылки для железобетонных оболочек средней длины  $m_1 = Q_1 = m_{12} = 0$ , получаем для квазицилиндрических оболочек следующие уравнения

$$1. \quad \frac{\partial T_x}{\partial x} + \frac{\partial S}{\partial s} + q_x = 0,$$

$$2. \quad \frac{\partial T_s}{\partial s} + \frac{\partial S}{\partial x} - \frac{Q_2}{R_2} + q_s = 0,$$

$$3. \quad \frac{T_x}{R_1} + \frac{T_s}{R_2} + \frac{\partial Q_2}{\partial s} + q_z = 0,$$

$$5. \quad Q_2 - \frac{\partial m_2}{\partial s} = 0.$$

Таким образом, четвертое статическое уравнение отпадает. Из пятого уравнения можно определить поперечные силы  $Q_2$ , которые в действительности имеют значения только для ребристых оболочек с отверстиями.

Сравнительные расчеты показывают, что отказ от поперечной силы  $Q_2$  при реальных углах раскрытия ( $\alpha_0 \leq 35^\circ$ ) вызывает ошибку в поперечных моментах 2 - 3 %.

Учитывая, что  $q_s = 0$  и  $Q_2/R_2 \rightarrow 0$ , из второго уравнения получаем внутренние силы  $T_s$ .

Из первого статического уравнения при  $q_x = 0$

$$\frac{\partial T_x}{\partial x} + \frac{\partial S}{\partial s} = 0,$$

из чего следует, что

$$\frac{\partial^2 T_x}{\partial x^2} = - \frac{\partial}{\partial s} \left( \frac{\partial S}{\partial x} \right) = - \frac{\partial}{\partial s} \zeta(x, s).$$

Третье уравнение в настоящем виде не применяется. Применяется условие вертикального равновесия единичной полоски.

Для цилиндрических оболочек [4] были приняты следующие предположения: 1) нагрузки от оболочки на торцевые диафрагмы передаются исключительно за счет сдвигающих сил  $S$ ; 2) в средних зонах

$$\frac{\partial^2 S}{\partial x^2} = \frac{\partial^3 T_x}{\partial x^3} = \frac{\partial m_2}{\partial x} = \frac{\partial T_y}{\partial x} = 0.$$

Эти предположения можно распространить на всю поверхность оболочки [5], что несколько идеализирует работу конструкции, однако не может существенно повлиять на точность получаемого решения.

Для железобетонных оболочек предпосылка  $\frac{\partial m_2}{\partial x} = 0$  хорошо оправдывается, так как эти оболочки не в состоянии воспринять крутящих моментов.

Для квазицилиндрических оболочек эти предпосылки недействительны. На внутренние силы влияют изменяющие в продольном направлении приращения сдвигающих сил  $\zeta(x, s)$ , нагрузка и силы  $T_x / R_1$ .

В квазицилиндрических оболочках нагрузка передается на торцевые угловые опоры еще при помощи влияния кажущейся продольной четырехопорной арки с затяжками.

В соответствии с принципом работы пространственных конструкций рассматриваемого типа основная часть нагрузки от криволинейной части передается на торцевые диафрагмы при помощи сдвигающих сил.

В оболочках положительной кривизны добавляется еще влияние продольной четырехопорной арки с затяжками.

Торцевые диафрагмы обычно имеют вид стенки-балки с высокой жесткостью или вид двушарнирной арки с затяжкой. При первом варианте диафрагмы вертикальные перемещения незначительные и существенно не влияют на распределение внутренних сил. Влияние деформации торцевых диафрагм в виде арки учитывается при помощи потенциальной энергии.

Продольный бортовой элемент может иметь вид: 1) балки с криволинейным верхним поясом, 2) двушарнирной арки с затяжкой, 3) криволинейного бруса. Бортовые элементы нагружаются в основном сдвигающими усилиями от тонкостенной плиты.

Все эти варианты могут иметь разные дополнительные связи, которые могут действовать отдельно или все вместе: 1) вертикальное опирание бортового элемента; 2) горизонтальное опирание продольных бортовых элементов; 3) восприятие изгибающих поперечных моментов.

Важное значение для расчета имеет вариант с вертикальным опиранием продольных бортовых элементов на промежуточные опоры. При этом вертикальные перемещения продольных краев равняются нулю, горизонтальные перемещения бортовых элементов не имеют препятствий. В расчетах одной неизвестной является реакция промежуточных опор  $r(x)$  на бортовые элементы, которая должна быть такой, чтобы бортовой элемент не искривлялся в вертикальном направлении. Это условие означает, что в продольных бортовых элементах по всей высоте  $b_0(x)$  развиваются постоянные продольные растягивающие усилия  $T_x$ .

При расчете квазицилиндрической оболочки с продольным бортовым элементом в виде арки с затяжкой или с нулевыми поперечными трещинами ( $\zeta = 0$ ), в пределах высоты бортовых балок, дополнительным условием является условие равновесия всех изгибающих моментов относительно поперечной горизонтальной оси. Можно также предполагать, что продольный бортовой элемент имеет вид криволинейного бруса. В том случае силы  $T_x/R_1$  в вертикальных сечениях уравниваются. Влияние сил  $T_x/R_1$  учитывается в выражениях поперечных изгибающих моментов.

Добавочные условия для определения параметров приращения сдвигающих сил можно получить от изгибающих моментов в трещинах-шарнирах.

Причиной образования продольных трещин (см. фиг. I) являются отрицательные поперечные изгибающие моменты, которые имеют максимум в зонах у конька оболочки (ширина зоны около  $s_0$ ). В этой зоне могут образоваться у верхней поверхности продольные трещины, которые в некоторой мере работают как шарниры. Передача изгибающих моментов зависит от величины и эксцентриситета поперечной нормальной силы  $T_s$ . Образование продольных трещин от отрицательных моментов не доводит оболочки до разрушения.

В дальнейшем рассматриваем задачу, когда в сечении имеется линейный шарнир текучести. Обычно линейные продольные шарниры образуются после образования поперечных трещин в пределах высоты бортового элемента. В соответствии с этим нужно пользоваться уравнениями для оболочек с поперечными трещинами. В зависимости от предельных поперечных изгибающих моментов  $m_{пр}$  можно получить ряд дополнительных условий.

Во внутренних волнах многоволнового перекрытия на продольных краях оболочек (в дополнительных связях) при нагружении возникают статически неопределимые внутренние усилия, постоянные в продольном направлении. Как и в методе сил, лишними неизвестными являются горизонтальные силы  $X_1$  и опорные моменты  $X_2$  на единицу длины оболочки.

Независимые параметры приращения сдвигающих сил  $q_i$  определяем в соответствии с вариационным методом Кастильяно-Ритца из условия минимума потенциальной энергии всей системы.

Общее уравнение потенциальной энергии состоит из энергии внутренних сил и работы внешней нагрузки  $W$

$$\Pi = \Pi_1 + \Pi_2 + \Pi_3 - W,$$

где энергия внутренних сил криволинейной тонкостенной части

$$\Pi_1 = \Pi_n + \Pi_{ср},$$

здесь  $\Pi_n = \Pi_{m_1} + \Pi_{m_2}$  - энергия изгиба,

$\Pi_{ср} = \Pi_x + \Pi_y + \Pi_s$  - энергия деформации срединной поверхности ( $\Pi_x$  от  $T_x$ ,  $\Pi_y$  от  $T_s$ ,  $\Pi_s$  от  $S$ );

$\Pi_2$  - энергия внутренних сил продольных бортовых элементов;

$\Pi_3$  - энергия внутренних сил поперечных бортовых элементов.

За счет симметрии конструкции и нагрузки можно ограничиться потенциальной энергией четверти оболочки. Таким образом,

$$\Pi_n = \int_0^{L/2} dx \int_0^{s_0} \frac{m_2^2(x,s)}{2EJ} ds + \int_0^{L/2} dx \int_0^{s_0} \frac{m_1^2(x,s)}{2EJ} ds.$$

Учитывая, что для оболочек средней длины предполагают  $m_1 = 0$ , второй член отпадает. Энергия деформации срединной поверхности

$$\Pi_{cp} = \int_0^{L/2} dx \int_0^{s_0+b_0} \frac{T_x^2(x,s)}{2EJ} ds + \int_0^{L/2} dx \int_0^{s_0} \frac{T_s^2(x,s)}{2E\delta} ds + \int_0^{L/2} dx \int_0^{s_0} \frac{S^2(x,s)}{2G\delta} ds.$$

В первом члене учитывается влияние продольного бортового элемента и продольных тяжей  $\Pi_2$ . По предложению В.З. Власова считается, что  $\varepsilon_2 = 0$ . С другой стороны, (см. фиг. 1)  $T_s \ll T_x$  и влияние второго члена можно не учитывать. Влияние сдвигающих сил  $S(x,s)$  в общем считается незначительным (по предложению В.З. Власова  $\nu = 0$ ). Но у нас имеется поперечное тонкостенное сечение, имеющее относительно сдвигающих сил высоту  $s_0$ , которая почти равняется длине оболочки  $L$ . Можно предполагать, что сдвигающие силы влияют на распределение внутренних сил.

Влияние поперечных бортовых элементов получает вид

$$\Pi_3 = \int_0^{s_0} \frac{M_A^2(s)}{2EJ_A} ds + \int_0^{s_0} \frac{N_A^2(s)}{2EF_A} ds + \int_0^{L/2} \frac{N_a^2(s)}{2E_a F_a} ds.$$

Внутренние силы и потенциальная энергия в торцевой диафрагме зависят от расположения плиты оболочки относительно арки [6]. При нежестких арочных диафрагмах этот член может оказать значительное влияние на распределение внутренних сил всей конструкции. Этот член не влияет в диафрагмах в виде балки-стенки.

Выражение для работы внешней нагрузки имеет вид

$$W = \int_0^{L/2} dx \int_0^{s_0} \bar{q} W(x,s) ds,$$

где  $W(x,s)$  - вертикальные перемещения оболочки;

$\bar{q} = q_s s_0 + q_0$  - нагрузка на конечную полосу единичной шириной.

Так как нагрузка на торцевые диафрагмы передается в основном при помощи сдвигающих сил, то не учитывается работа внешней нагрузки.

Максимальные вертикальные перемещения определяются в сечении  $x = L/2$  при помощи формулы Максвелла-Мора, учитывая только моментные члены, связывая их с независимыми параметрами приращения сдвигающих сил  $q_i$ . В продольном направлении вертикальные перемещения изменяются по квадратной параболе.

Для оболочек рассматриваемых типов имеются две принципиально разные схемы вертикальных перемещений: 1) при первой схеме конек оболочки перемещается вниз меньше (или даже поднимается вверх), чем бортовой элемент, 2) при второй схеме конек перемещается вниз, больше, чем бортовой элемент.

При определении жесткостей в тонкостенной плите предполагаем, что оболочка работает без продольных трещин, в пределах бортовых элементов учитываем влияние поперечных трещин. Надо принять во внимание, что для потенциальной энергии не действителен принцип суперпозиции.

Внутренние силы определяются при помощи приращения сдвигающих сил. Из первого уравнения равновесия получили, что

$$\frac{\partial^2 T_x}{\partial x^2} = -\frac{\partial}{\partial s} \left( \frac{\partial S}{\partial x} \right) = -\frac{\partial}{\partial s} \zeta(x, s).$$

Интегрируя два раза в продольном направлении  $x$  для постоянных параметров в продольном направлении типа  $q_{11}$  и  $q_i$

$$\frac{\partial T_x}{\partial x} = -\frac{\partial \zeta}{\partial s} x + C_1, \quad T_x = -\frac{\partial \zeta}{\partial s} \frac{x^2}{2} + C_1 x + C_2$$

и учитывая краевые условия  $x = 0 \rightarrow T_x = 0$

$$x = L/2 \rightarrow \frac{\partial T_x}{\partial x} = 0$$

получаем выражение для продольной нормальной силы

$$T_x = \frac{x}{2} (L-x) \frac{\partial \zeta}{\partial s}.$$

Для параметров типа  $q_{12}$  выражение получает вид

$$T_x = \frac{xL}{4} \left(1 - \frac{4}{3} \frac{x^2}{L^2}\right) \frac{\partial \xi}{\partial s},$$

для параметров типа  $a_{I3}$

$$T_x = \frac{xL}{3} \left(1 - 4 \frac{x^2}{L^2} + 4 \frac{x^3}{L^3}\right) \frac{\partial \xi}{\partial s}.$$

Для определения поперечных нормальных сил  $T_s(x, s)$  для единичной полоски в определенных точках  $\alpha$  поперечного сечения применяются условия равновесия в направлении касательной. Общие формулы для расчета поперечных нормальных сил  $T_s$  для всех случаев представлены в [7].

Несмотря на незначительную горизонтальную жесткость продольного бортового элемента у бортового элемента развиваются поперечные нормальные силы  $T_s$ . Эти усилия вместе с поперечными силами в плите криволинейной части дают результирующую силу в вертикальном направлении.

Самое благоприятное распределение сжимающих поперечных нормальных сил имеет место в сечениях у конька оболочки, где они в широкой зоне почти постоянные. В направлении бортового элемента сжимающие усилия уменьшаются.

Сдвигающие силы в любом поперечном сечении  $x$  определяются при помощи формулы

$$\begin{aligned} S(x, s) = & C_3 \cdot \frac{\alpha}{\varphi} \left[ \left(\frac{L}{2} - x\right) a_{I1} + \frac{L}{4} \left(1 - 4 \frac{x^2}{L^2}\right) a_{I2} + \right. \\ & \left. + \frac{L}{3} \left(1 - 12 \frac{x^2}{L^2} + 16 \frac{x^3}{L^3}\right) a_{I3} \right] + C_3 \left(\frac{L}{2} - x\right) \sum_{i=1}^n \sin \frac{i \alpha \pi}{\varphi} a_i + \\ & + C_4 \left[ \left(\frac{L}{2} - x\right) a_{I1} + \frac{L}{4} \left(1 - 4 \frac{x^2}{L^2}\right) a_{I2} + \frac{L}{3} \left(1 - 12 \frac{x^2}{L^2} + 16 \frac{x^3}{L^3}\right) a_{I3} \right]. \end{aligned}$$

Компоненты поперечных изгибающих моментов от параметров сдвигающих сил получаются интегрированием уравнения  $\xi(x, s)$  один раз в направлении  $s$  и они связаны с увеличением точности.

Действительные поперечные изгибающие моменты  $m_2(x, s)$  определяются при помощи формулы (в пределах  $0 \leq x \leq L/2$ )

$$\begin{aligned}
m(x, \alpha) = & M_0(x) + \left( a_{I1} + \frac{2x}{L} a_{I2} + \frac{4x(L/2-x)}{L^2/4} a_{I3} \right) m_I + \\
& + \sum_{i=1}^n m_i a_i + \frac{1}{R_1} \left[ \frac{xL}{2} \left( 1 - \frac{x}{L} \right) a_{I1} + \frac{Lx}{4} \left( 1 - \frac{4}{3} \frac{x^2}{L^2} \right) a_{I2} + \frac{Lx}{2} \left( 1 - \right. \right. \\
& \left. \left. - 4 \frac{x^2}{L^2} + 4 \frac{x^3}{L^3} \right) a_{I3} \right] m_{IR} + \frac{1}{R_1} \frac{xL}{2} \left( 1 - \frac{x}{L} \right) \sum_{i=1}^n m_{iR} a_i.
\end{aligned}$$

Формулы для расчета  $m_I$ ,  $m_{IR}$ ,  $m_i$ ,  $m_{iR}$  и  $M_0$  представлены в [8].

В выражениях приращений сдвигающих сил  $\xi(x, s)$  имеются  $n$  независимых параметров  $a_i$  ( $i=1 \div n$ ) и 3 зависимых параметра  $a_{I1}$ ,  $a_{I2}$ ,  $a_{I3}$ . Последние исключаются вследствие трех условий вертикального равновесия конечных полосок единичной ширины в поперечных сечениях  $x = L/2, L/4, 0 + \Delta x$ .

Условия вертикального равновесия единичной полоски выписываются для любого поперечного сечения в виде (после вычисления интегралов):

$$\begin{aligned}
& R_2 \alpha_0 q + q_0(x) + R_2 \sum_{i=1}^n \frac{(-1)^{i+1} \sin \varphi}{i\pi/\varphi - \frac{\varphi}{i\pi}} a_i + \\
& + \left[ k_1 b_0(x) + R_2(1 - \cos \alpha_0) - R_2(1 - \cos \varphi) + R \left( \frac{\sin \varphi}{\varphi} - \cos \varphi \right) \right] \cdot \\
& \cdot \left[ a_{I1} + \frac{2x}{L} a_{I2} + \frac{4x(L/2-x)}{L^2/4} a_{I3} \right] + \frac{\sin \varphi}{R_1 \varphi} \left[ \frac{xL}{2} \left( 1 - \frac{x}{L} \right) a_{I1} + \right. \\
& \left. + \frac{Lx}{4} \left( 1 - \frac{4}{3} \frac{x^2}{L^2} \right) a_{I2} + \frac{Lx}{3} \left( 1 - 4 \frac{x^2}{L^2} + 4 \frac{x^3}{L^3} \right) a_{I3} \right] = 0.
\end{aligned}$$

Из условий равновесия составим систему уравнений

$$\sum_{p=1}^3 D_p(x) a_{Ip} + \sum_{i=1}^n D_i(x) a_i + D_0(x) = 0, \quad x = L/2, L/4, 0 + \Delta x.$$

Из системы уравнений выразим зависимые параметры  $a_{Ip}$  через независимые  $a_i$

$$a_{1p} = \sum_{i=1}^n k_{pi} a_i + K_p, \quad p = 1 \div 3.$$

Для определения независимых параметров приращения сдвигающих сил  $q_i$  необходимо внутренние силы  $T_x, T_s, S$  и  $m_2$  выразить только через эти параметры

$$T_x(x) = \bar{T}_0(x) + \sum_{i=1}^n \bar{T}_{xi}(x) a_i,$$

$$T_s(x) = \sum_{i=1}^n \bar{T}_{si}(x) a_i,$$

$$S(x) = \sum_{i=1}^n \bar{S}_i(x) a_i,$$

$$m_2(x) = \bar{M}_0(x) + \sum_{i=1}^n \bar{m}_i(x) a_i.$$

Независимые параметры  $a_i$  определяются в соответствии с вариационным методом Кастильяно-Ритца из условия минимума потенциальной энергии. Условие порядка  $k$  минимума потенциальной энергии имеет вид

$$\frac{\partial \Pi}{\partial a_k} = 0.$$

Члены, выражающие поперечные изгибающие моменты в энергетических выражениях, определяются интегрированием этих выражений в поперечных и в продольных направлениях. Член в  $i$ -ом условии минимума потенциальной энергии внутренних сил, выражающий влияние поперечных изгибающих моментов, получается в виде

$$\frac{6}{\delta^3} \int_0^{L/2} dx \int_0^{s_0} m \frac{\partial m}{\partial a_i} ds = A_i + \sum_{i=1}^n A_{ik} a_i.$$

Члены, выражающие продольные нормальные силы в энергетических выражениях, получаются в виде

$$\frac{1}{\delta} \int_0^{L/2} dx \int_0^{s_0+b_0(x)} T_x \frac{\partial T_x}{\partial a_i} ds = B_i + \sum_{i=1}^n B_{ik} a_i.$$

Величины  $A_i, A_{ik}, B_i$  и  $B_{ik}$  получаются при помощи численного интегрирования методом Симпсона в двух направлениях. Для

уменьшения расчетных работ внутренние силы можно определять только в середине продольного пролета  $x = L/2$ , а интегрирование в продольном направлении производится при помощи специальных коэффициентов. Аналогично можно определить величины  $C_i$  и  $C_{ik}$  для сдвигающих сил и члены, учитывающие влияние торцевых диафрагм  $D_i$  и  $D_{ik}$ .

Независимые параметры  $q_i$  определяются из системы линейных уравнений

$$\sum_{k=1}^n (A_{ik} + B_{ik} + C_{ik} + D_{ik}) q_k - (A_i + B_i + C_i + D_i) = 0, \quad i = 1 \div n.$$

Настоящая система линейных уравнений довольно "чувствительна". Вследствие этого, члены в системе, выражающие влияние продольных ( $B_{ik}, B_i$ ) и сдвигающих ( $C_{ik}, C_i$ ) сил и несмотря на их исключительную малость по сравнению с членами моментов ( $A_{ik}, A_i$ ), часто имеют решающее значение на результаты. Члены ( $D_{ik}$  и  $D_i$ ), выражающие влияние торцевых диафрагм зависят от конструкции и упругих свойств диафрагм. В некоторых случаях эти члены незначительно влияют на параметры сдвигающих сил.

Важным вопросом для продольных бортовых элементов с поперечными трещинами является учет влияния бетона между трещинами на жесткость продольного арматурного стрингера. В продольной арматуре в виде стрингера можно предполагать постоянные в продольном направлении усилия растяжения.

В квазицилиндрических оболочках в пределах бортовых элементов существует моментное состояние или центральное растяжение. Для определения напряженного состояния в арматуре можно пользоваться традиционной методикой. Для расчета применяется приведенная площадь арматуры  $F_{Anp} = \frac{F_A}{\psi_a}$ , т.е.  $F_{Anp} > F_A$ . Коэффициент  $\psi_a$  учитывает работу растянутого бетона на участках между трещинами. Таким образом,

$$\psi_a = \frac{\sigma_{a.c.}}{\sigma_a},$$

где  $\sigma_{a.c.}$  - среднее напряжение в арматуре;

$\sigma_a$  - напряжение в арматуре в сечении с трещиной.

Явно, что  $\sigma_{a.c.} < \sigma_a$ . Величина коэффициента  $\psi_a$  меняется от возможного минимума ( $\psi_a < 1$ ) [9] с появлением трещин до

значения, близкого к единице, при увеличении напряжений в арматуре в условиях длительного приложения нагрузки. При многократных повторных нагрузках величина коэффициента  $\Psi_0$  приближается к единице. Как показывают сравнительные расчеты и эксперименты, последние величины дадут более вероятные распределения внутренних сил.

Полученные результаты достоверны в средних зонах оболочек, в непосредственной близости угловых зон напряженное состояние остается неясным [10].

### Л и т е р а т у р а

1. Б а р т е н е в В.С., Б о л д ы ш е в А.М. Расчет железобетонных покрытий в виде ортотропных оболочек двойкой кривизны. - Пространственные конструкции. - Научные труды Красн. ПИ, Ирк. ПИ, Сиб. ТИ. М., Высшая школа, 1967.

2. М и л е й к о в с к и й И.Е., К а ш а е в Р.И. Исследование несущей способности сводов-оболочек средней длины при различных граничных условиях. - В кн.: Пространственные конструкции зданий и сооружений. Вып. 2, 1975.

3. Л а у л Х.Х. Расчет цилиндрических оболочек с криволинейными частями, очерченными по окружности. - Тр. Таллинск. политехн. ин-та, серия А, 1953, № 50.

4. Р ж а н и ц ы н А.Р. Пологие оболочки и волнистые настилы (некоторые вопросы теории и расчета). Научное сообщение ЦНИИСК АС и А СССР, вып. 14, Госстройиздат, 1960.

5. М и л е й к о в с к и й И.Е., Р а й з е р В.Д., Д о с т а н о в а С.Х., К а ш а е в Р.И. Нелинейные задачи расчета оболочек-покрытий. - М., Стройиздат, 1976.

6. Л а у л Х.Х., Т я р н о Ю.А. О расчете арочных диафрагм оболочек. - Тр. Таллинск. политехн. ин-та, 1976, № 410.

7. Т я р н о Ю.А. Определение уравнивающих поперечных моментов в продольных трещинах-шарнирах в оболочках средней длины. - Тр. Таллинск. политехн. ин-та, 1979, № 468.

8. Т я р н о Ю.А. Расчет квазицилиндрических оболочек средней длины. - Тр. Таллинск. политехн. ин-та, 1974, № 357.

9. К и с и н Б.С. О расчете железобетонных и армоцементных оболочек двойкой кривизны по деформациям. - Пространственные конструкции. Научные труды Красн. ПИ, Ирк. ПИ, Сиб. ТИ. М., Высшая школа, 1967.

10. Т я р н о Ю.А. О напряженном состоянии в угловых зонах цилиндрических оболочек средней длины с трещинами. - Тр. Таллинск. политехн. ин-та, 1981, № 507.

The Stress State in the Positive Gaussian Curvature Shells

## Summary

Among the various roofing shells of industry buildings on some rectangular plan (with sides  $L > 1$ ) those formed as some translatory surface are widely used. In the longitudinal direction those shells have been designed to be more flat and stretched out than in the transversal direction, so that  $R_1 > R$ . The real edge conditions of the so called quasicylindrical shell will be influenced by the differences of the radii of curvature in both directions and of the length. On the transverse edges the edge conditions by Navier' are assumed, whereas on the longitudinal edges the real edge conditions with vertical and horizontal support forces and bending moments are considered. The behaviour of a quasicylindrical shell resembles that of the cylindrical shell. But still there is no probability of forming the zones with negative Gaussian curvature which is the peculiarity of a cylindrical shell. The paper deals with a design method for computing the quasicylindrical positive curvature shells with various qualities of materials. The modified method of approximation of shear forces has been used taking into account the direction change of the membrane longitudinal forces. It is possible to use the same equations with various coefficients for various shells. There are some modifications for the equations taking into account the additional conditions on the edge beams. It is possible to use the basic computing scheme for the shells with different materials and cross-sections.

## С о д е р ж а н и е

1.	С.С. Богданов, А.В. Клаусон. О возможности использования порталной рамы в качестве конечного элемента при оптимизации многоконтурных рам.....	3
2.	Р.Н. Ээк. Оптимизация многоступенчатых сжатых стержней.....	9
3.	Э.М. Иеги, П.И. Коппель, А.А. Сарап. О некоторых свойствах оптимальных плоских систем...	21
4.	Л.Ю. Поверус. Анализ волнового напряженного состояния в однослойных и слоистых пластинах	27
5.	Ю.А. Тярно. О распределении напряжений в оболочках положительной гауссовой кривизны.....	39

Таллинский политехнический институт  
Труды ТПИ № 532  
СТАТИЧЕСКИЕ И ДИНАМИЧЕСКИЕ МЕТОДЫ АНАЛИЗА  
СТЕРЖНЕВЫХ СИСТЕМ, ПЛАСТИН И ОБОЛОЧЕК  
Строительная механика Х111  
Редактор У. Раукас  
Техн. ред. В. Ранник  
Сборник утвержден коллегией Трудов ТПИ 10.03.82  
Подписано к печати 29.06.82  
Бумага 60x90/16. Печ. л. 3,75 + 0,25 приложение  
Уч.-изд. л. 4,05. Тираж 300. МВ-08306  
Ротапринт ТПИ, Таллин, ул. Коскла, 2/9  
Зак. № 381  
Цена 60 коп.

© Таллинский политехнический институт, 1982





Цена 60 коп.